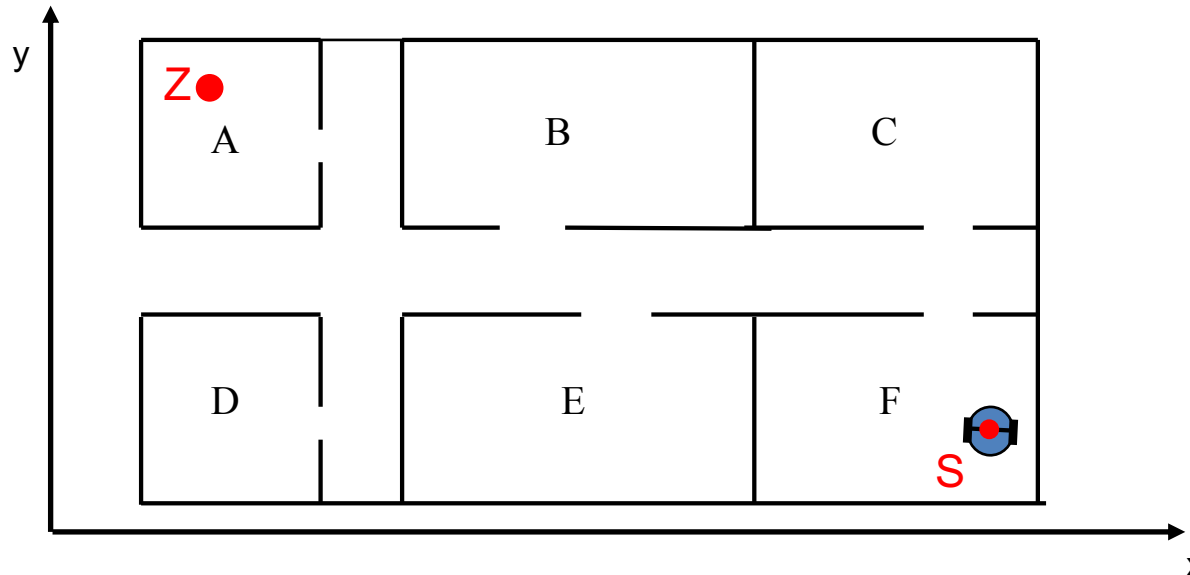


Navigation

- Überblick
 - Ziel, Architektur, Komponenten
- Reaktive Navigation
 - Insekten als Vorbild
 - Braitenberg-Vehikel
 - Zusammenbau elementarer Navigationsbausteine
 - Bug-Algorithmen
 - Histogramm-Verfahren
 - Dynamik-basiertes Verfahren
- Kartenbasierte Navigation
 - Kürzeste Wege in Graphen:
 - A*, Dijkstra-Verfahren und Breitensuche
 - Verfahren mit Belegtheitsgitter
 - Wegekartenverfahren:
 - Voronoi-Diagramme und probabilistische Wegekarten

Problemstellung

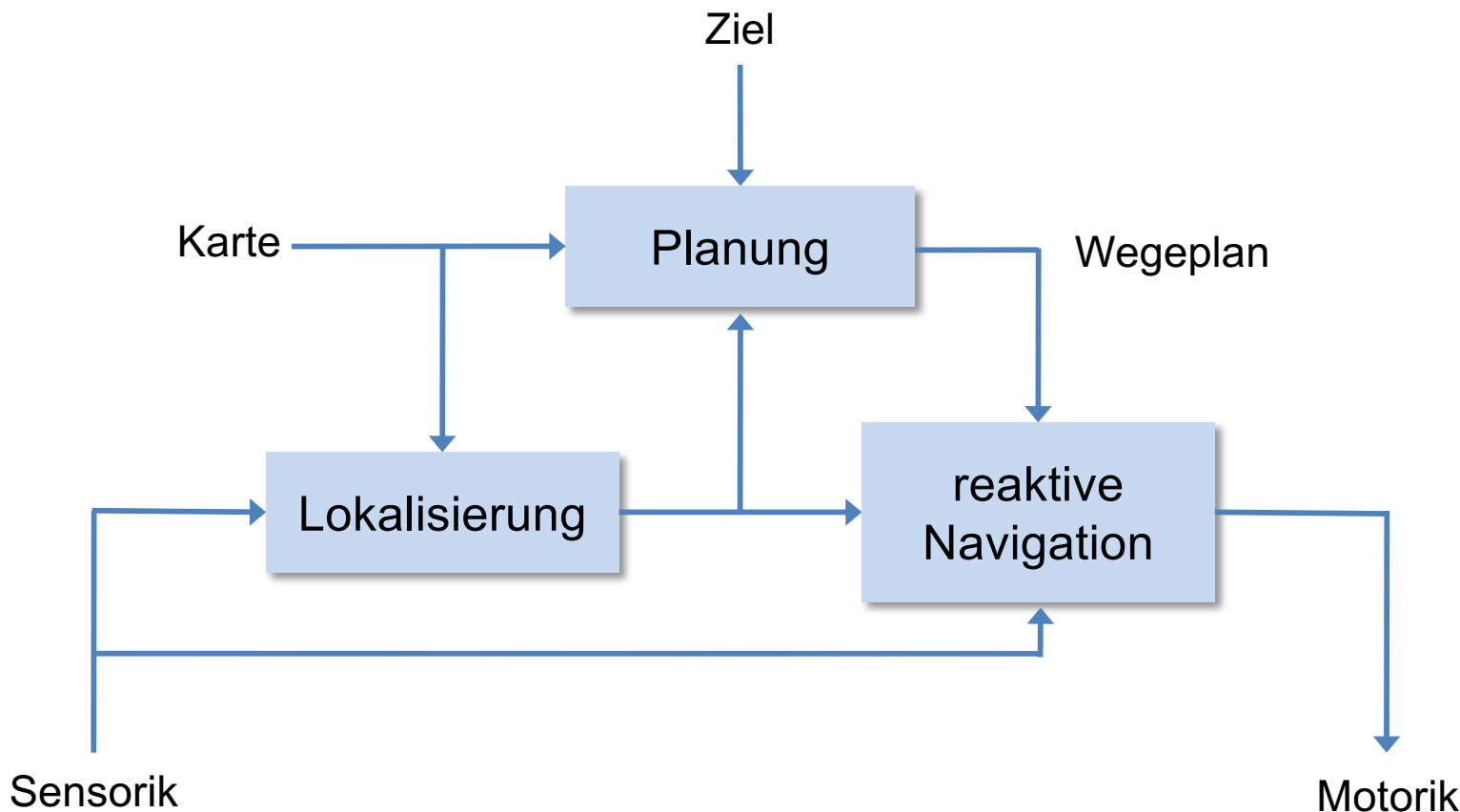
- Bewege Roboter kollisionsfrei von einem Startpunkt S zu einem Zielpunkt Z.



Problemparameter:

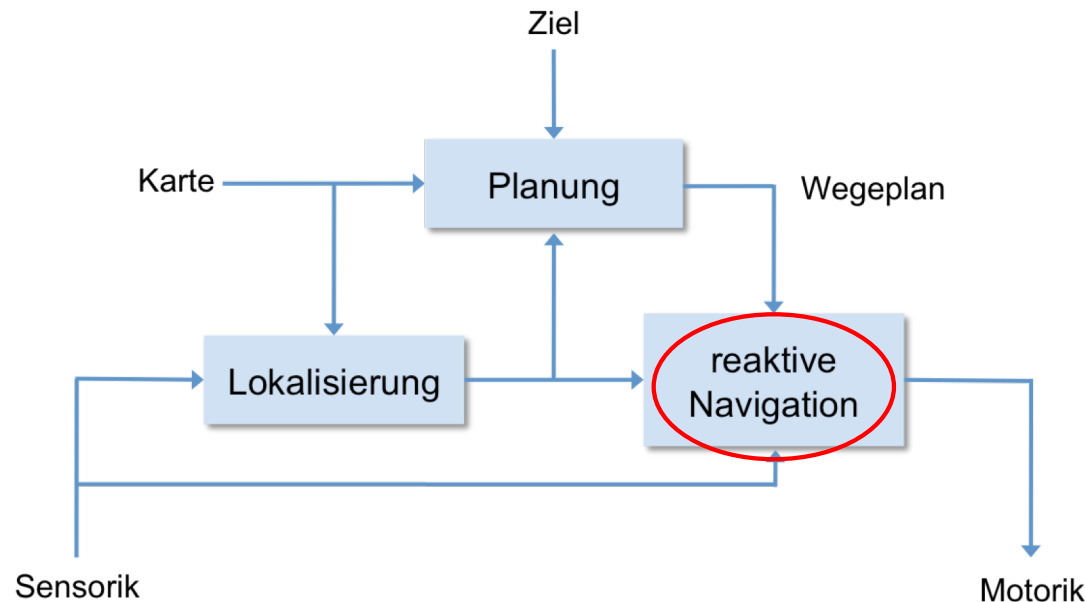
- Roboter:
 - Ausmaße und dynamische Eigenschaften
- Umgebung:
 - Beschaffenheit:
In/Outdoor, Outdoor: künstlich/natürlich, Land/Wasser, ...
 - dynamische Hindernisse
 - Karte

Typische Architektur und Komponenten



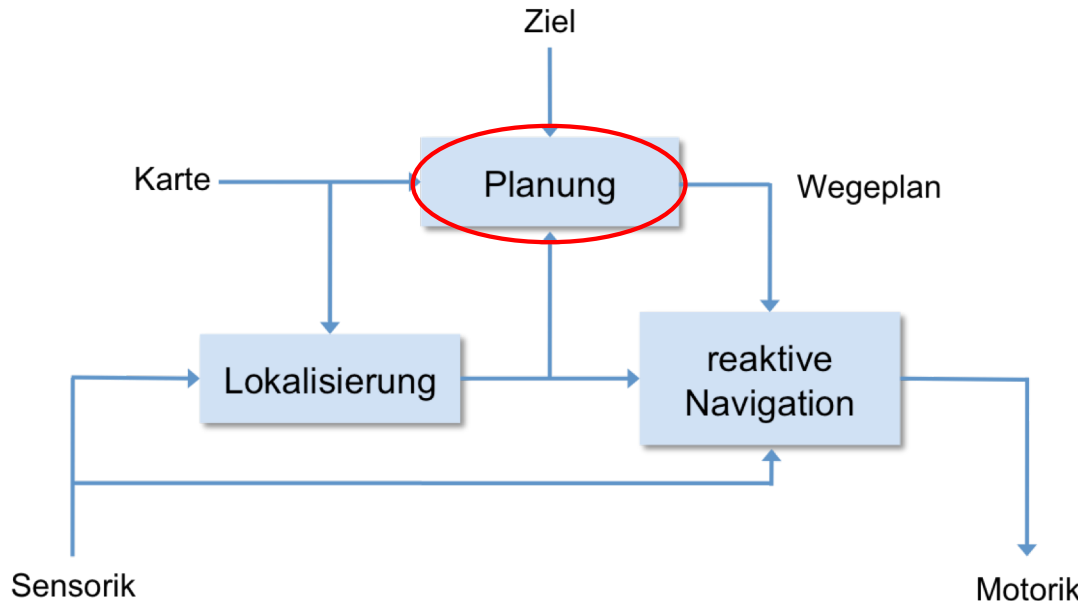
- Zweistufige Architektur:
 - Kartenbasierte Planung eines kollisionsfreien Wegs
 - Ausführen des geplanten Wegs durch reaktive Navigation

Reaktive Navigation



- Führt direkte Steuerung des Roboters durch:
z.B. durch Setzen der Translations- und Rotationsgeschwindigkeit.
- Sensordaten können gefiltert sein und/oder über ein zeitlich begrenztes Intervall integriert werden: lokale Umgebungskarte.
- Aktuelle Positionsschätzung kann mit einbezogen werden.
- Üblicherweise wird aus einem Wegeplan die nächste Zielkoordinate vorgegeben.
- 10 – 100 Hz

Planung

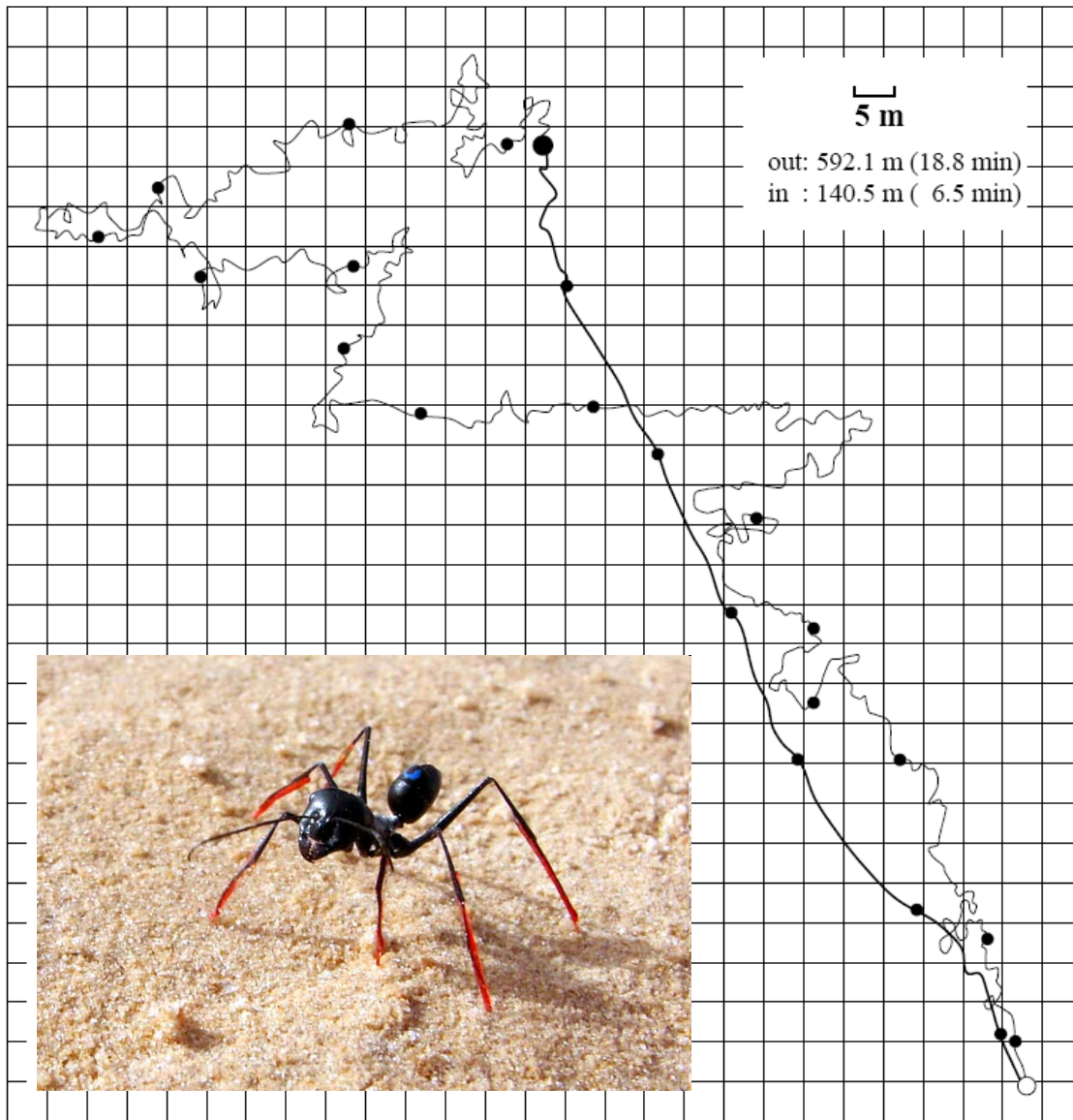


- Erstellung eines kollisionsfreien Wegeplans von der aktuellen Position zur Zielposition.
- Üblicherweise wird ein Plan mit Hilfe einer Karte erstellt.
- Dabei werden nur statische Hindernisse berücksichtigt.
- Meist wird Roboter als punktförmig angenommen
(Hindernisse lassen sich um Roboterradius aufblasen)
- Meist keine Berücksichtigung der dynamischen Fähigkeiten des Roboters.
- Evtl. Unterstützung einer Planänderung (Sackgassenproblematik)
- ≤ 1 Hz

Navigation

- Überblick
 - Ziel, Architektur, Komponenten
- Reaktive Navigation
 - Insekten als Vorbild
 - Braitenberg-Vehikel
 - Zusammenbau elementarer Navigationsbausteine
 - Bug-Algorithmen
 - Histogramm-Verfahren
 - Dynamik-basiertes Verfahren
- Kartenbasierte Navigation
 - Kürzeste Wege in Graphen:
 - A*, Dijkstra-Verfahren und Breitensuche
 - Verfahren mit Belegtheitsgitter
 - Wegekartenverfahren:
 - Voronoi-Diagramme und probabilistische Wegekarten

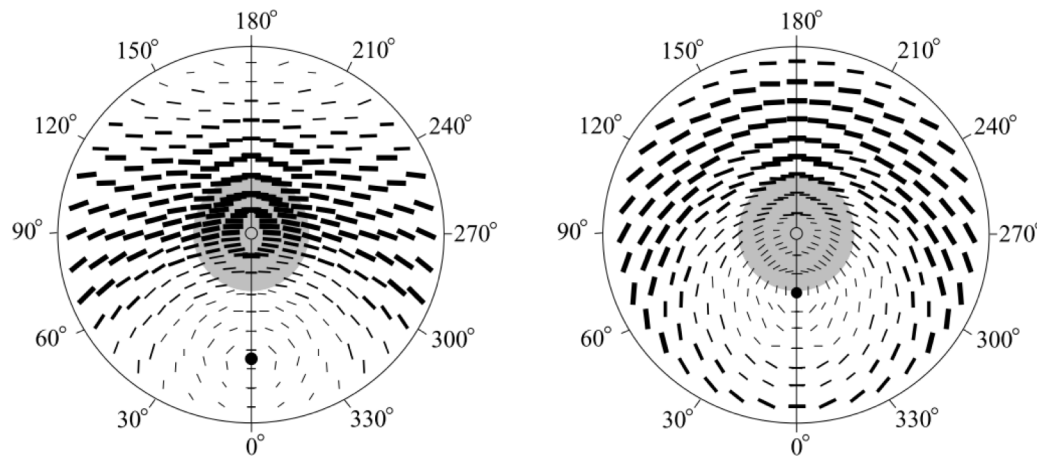
Insekten als Vorbild: Cataglyphis (1)



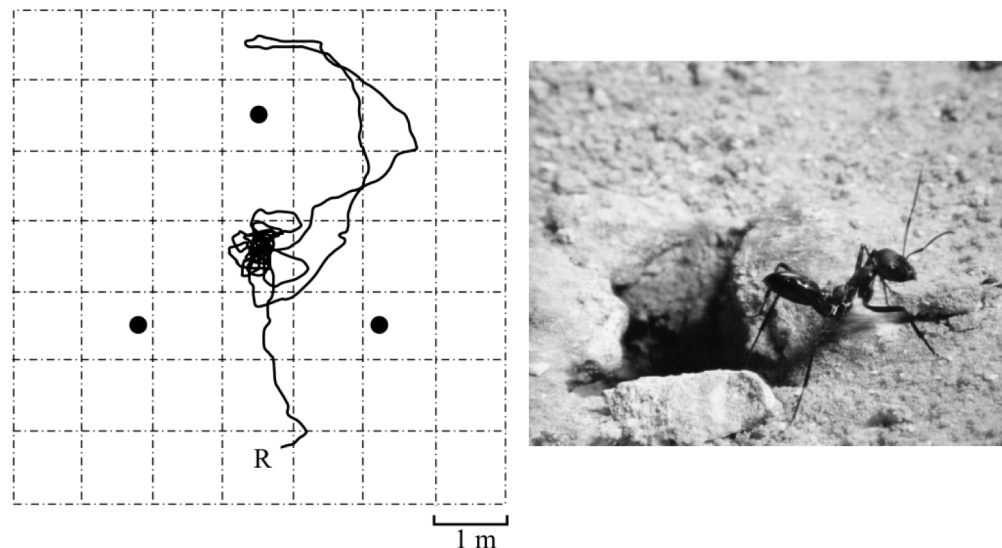
Wüstenameise (*Cataglyphis*)

- geht auf Futtersuche nach dem Zufallsprinzip
- findet danach zum bis zu etwa 200 m entfernten Nest zurück.
- keine Pheromonspuren (Wüste!)

Insekten als Vorbild: Cataglyphis (2)



Polarisationsmuster für verschiedene Sonnenstände (schwarzer Punkt)



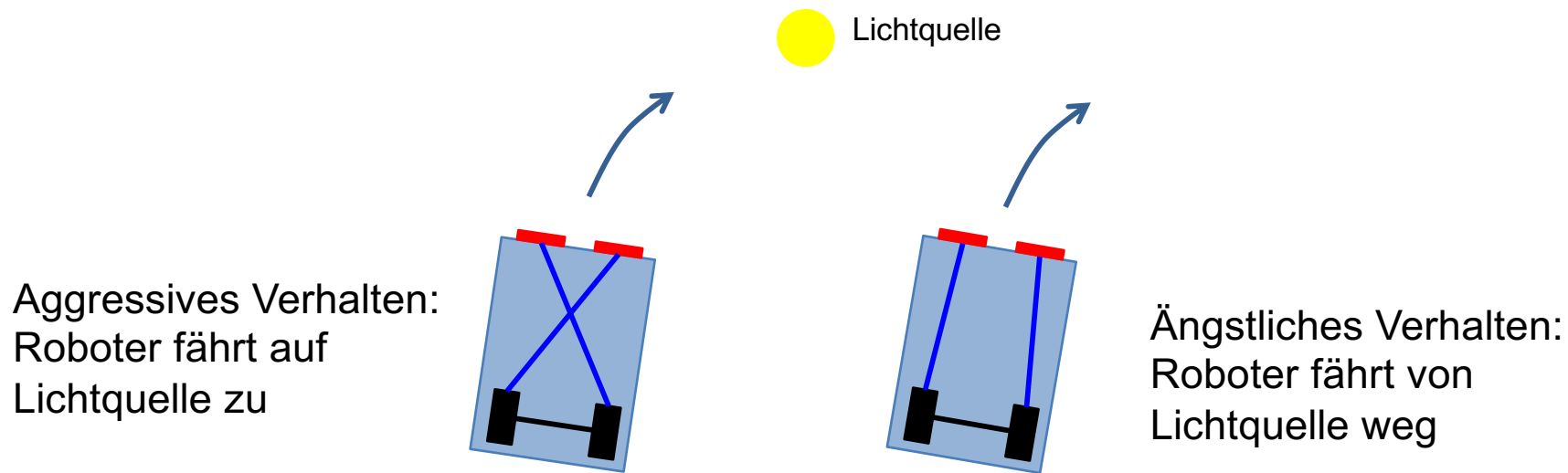
- Koppelnavigation durch Schrittzähler und Polarisationskompass

- Visuelle (landmarkenbasierte), lokale Suche im Nestbereich

Bilder aus Lambrinos et. al. , *A mobile robot employing insect strategies for navigation*, 1999.

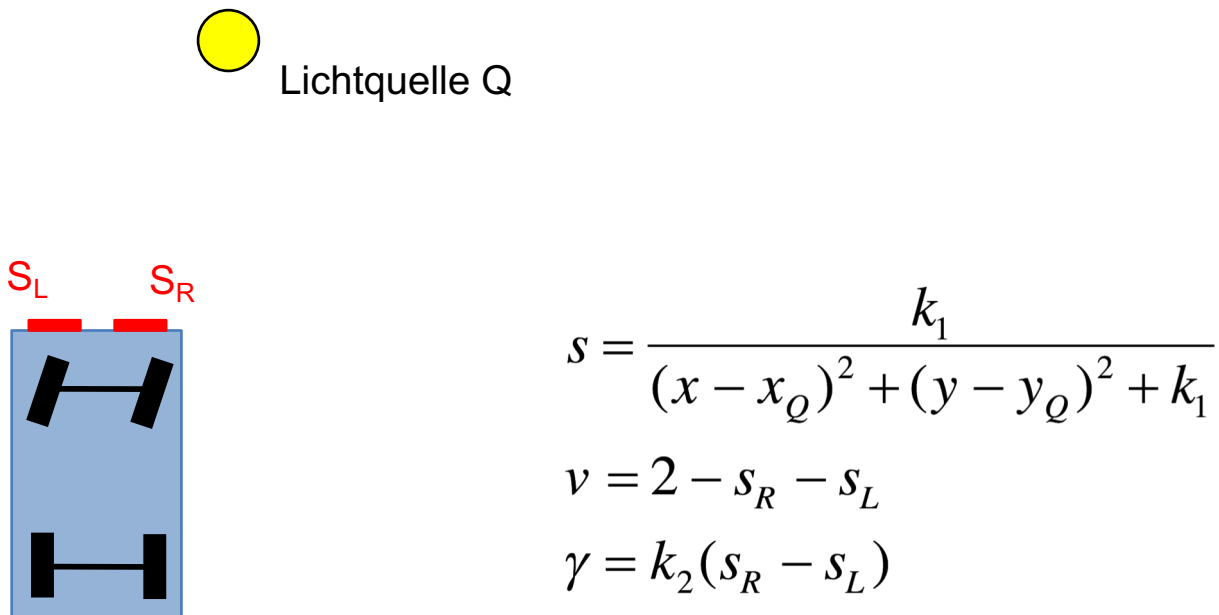
Braitenberg Vehikel (1)

- Valentino Braitenberg: *Vehicles - Experiments in Synthetic Psychology*, 1984.
- Einfache Roboter die komplexes Verhalten realisieren sollen.
- Sensoren sind direkt mit Motoren gekoppelt
(ganz allgemein gewichtete Summe)
- Einfache Sensorik:
Sensoren liefern umgebungsabhängig einen skalaren Wert;
z.B. Helligkeitssensor, Entfernungssensor, etc.

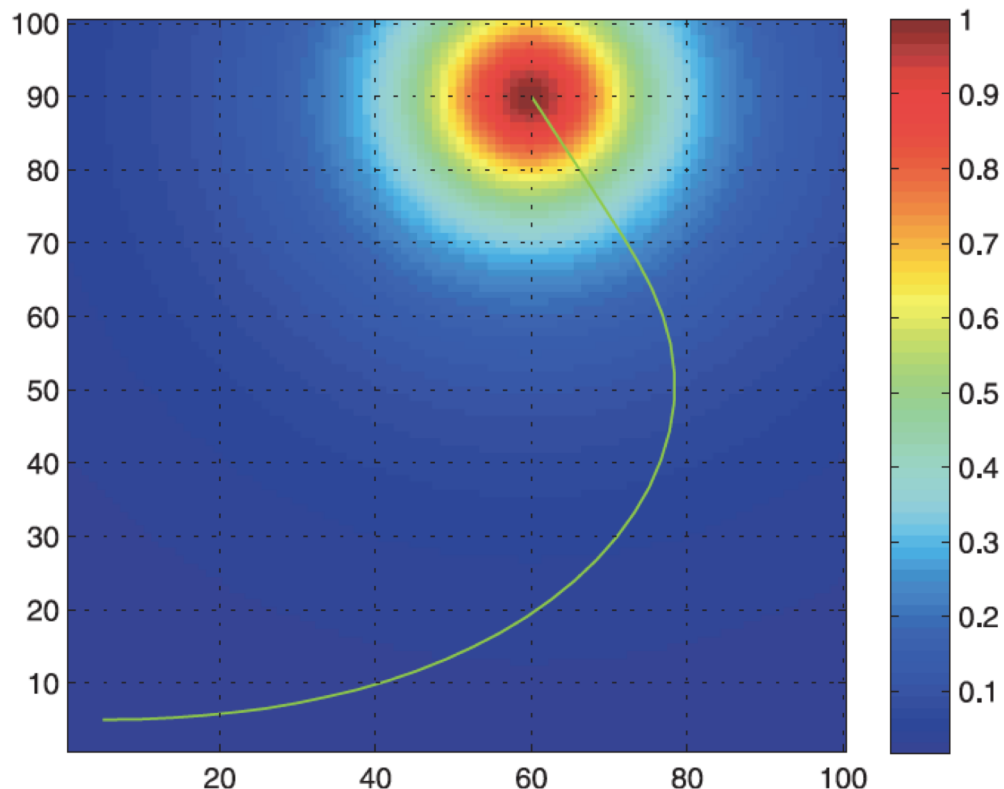


Simulation eines aggressiven Roboters (1)

- Roboter mit Ackermannsteuerung (Automobil);
Steuerung der Geschwindigkeit v und des Lenkwinkels γ
- Helligkeitssensor misst Helligkeitswert, der umgekehrt proportional
zum Abstand zur Lichtquelle (x_Q, y_Q) angenommen wird.
Wert wird auf $[0, 1]$ normiert.



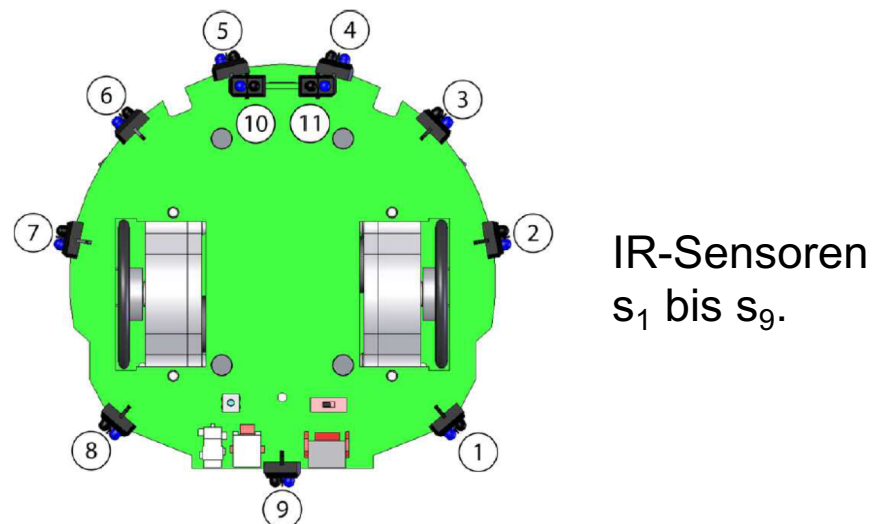
Simulation eines aggressiven Roboters (2)



- Lichtquelle bei $Q = (60, 90)$
- Farbe stellt Entfernung zur Lichtquelle dar.

- Pfad des aggressiven Braitenberg-Vehikels, der zum Helligkeitsmaximum (= Position der Lichtquelle) führt.
- aus [Corke 2011]

Beispiel: Hindernisvermeidung mit Khepera III



$$\text{Linker Motor: } LM = \sum_i w_{l,i} s_i$$

$$\text{Rechter Motor: } RM = \sum_i w_{r,i} s_i$$

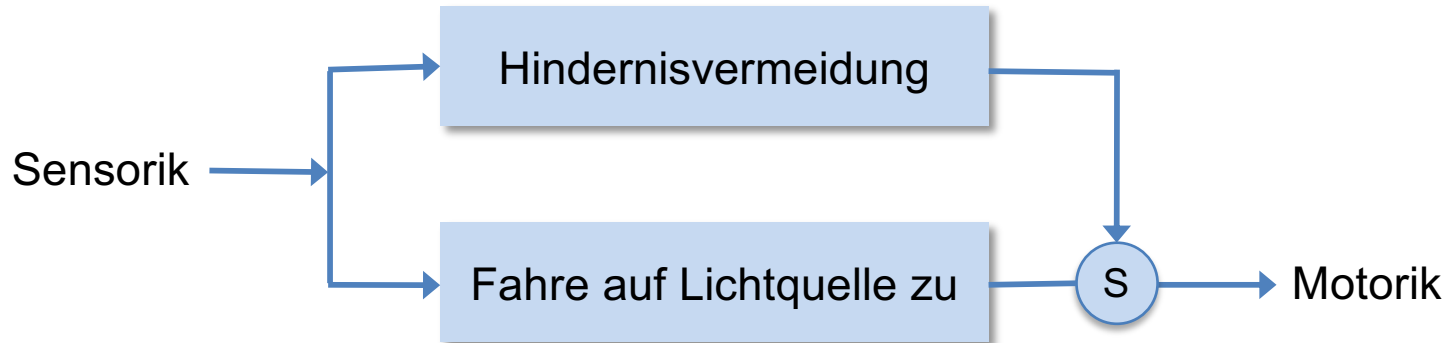
IR-Sensor	1	2	3	4	5	6	7	8	9
$w_{l,i}$	2	-2	-4	-12	5	2	2	2	4
$w_{r,i}$	2	2	2	5	-12	-4	-2	2	4
rechts vorne					links vorne				

Navigation

- Überblick
 - Ziel, Architektur, Komponenten
- Reaktive Navigation
 - Insekten als Vorbild
 - Braitenberg-Vehikel
 - Zusammenbau elementarer Navigationsbausteine
 - Bug-Algorithmen
 - Histogramm-Verfahren
 - Dynamik-basiertes Verfahren
- Kartenbasierte Navigation
 - Kürzeste Wege in Graphen:
 - A*, Dijkstra-Verfahren und Breitensuche
 - Verfahren mit Belegheitsgitter
 - Wegekartenverfahren:
 - Voronoi-Diagramme und probabilistische Wegekarten

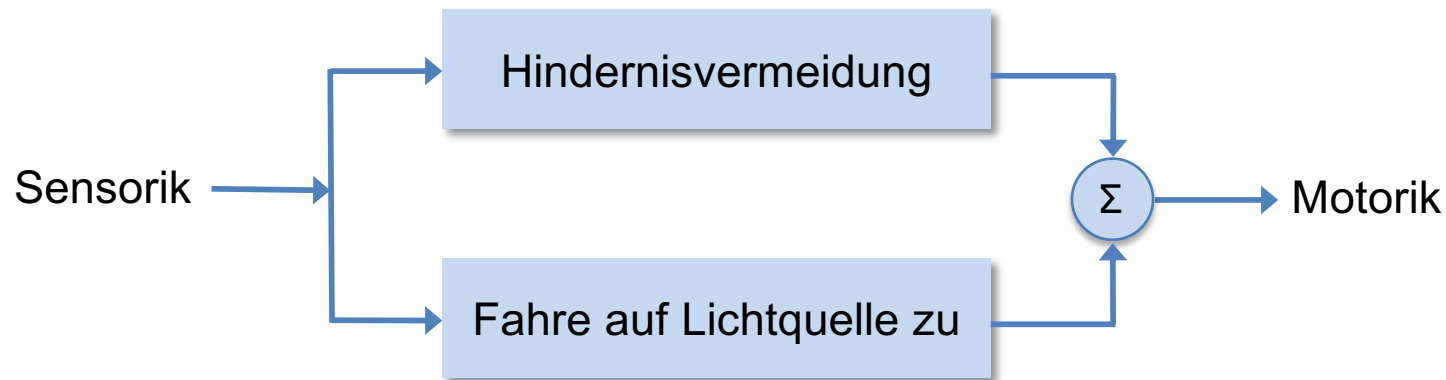
Subsumptionsarchitektur

- Mit einer Subsumptionsarchitektur lassen sich aus mehreren einfachen Verhalten (behaviour) ein komplexeres Verhalten erzielen.
- Dazu werden die Verhalten verschiedenen Ebenen zugeordnet. Die Verhalten der höheren Schichten können die Verhalten der unteren Schichten blockieren (suppress).
- Beispiel für zweischichtiges Verhalten:
Der Roboter fährt auf die Lichtquelle zu, führt aber eine Hindernisvermeidung durch, sobald ein Hindernis auftaucht.



Fusionierung

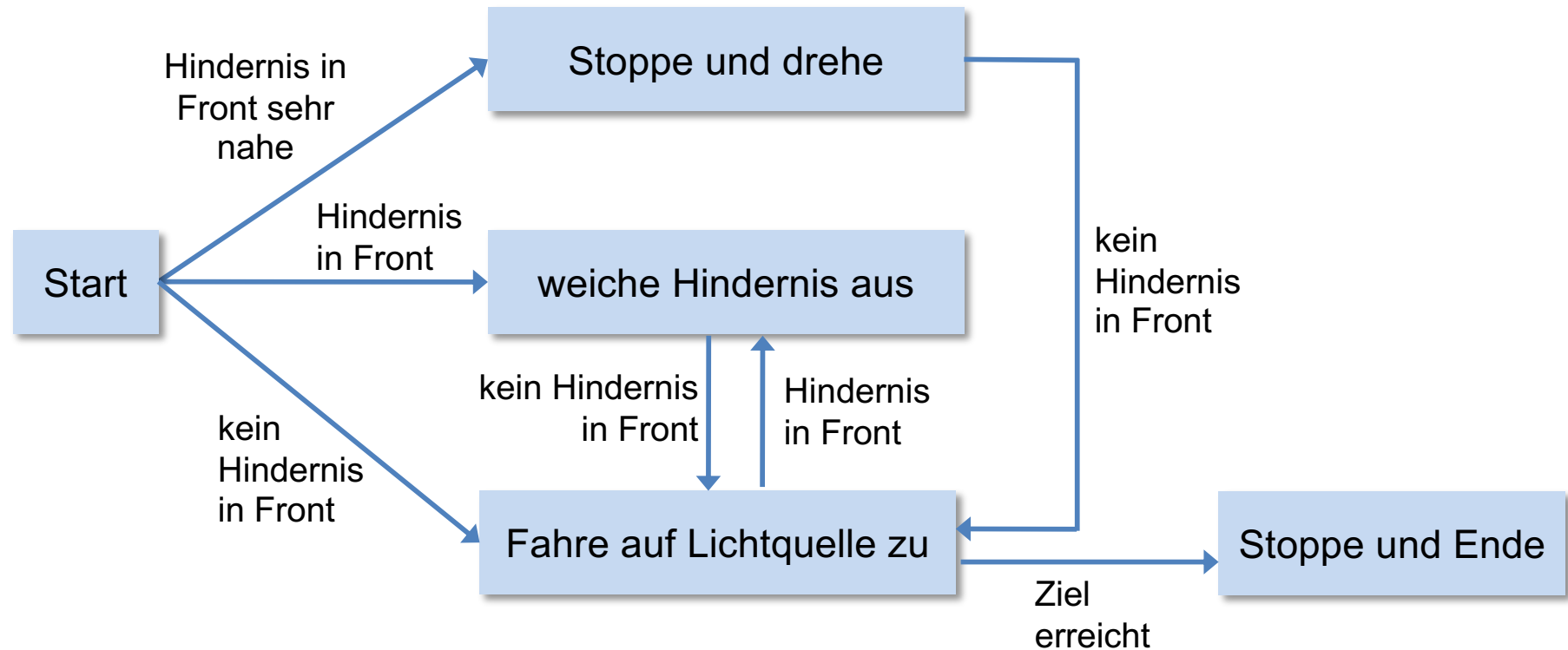
- Die Ausgaben mehrerer parallel laufender Verhalten werden durch eine gewichtete Summe zu einer Ausgabe fusioniert.



- Die Gewichte der Fusionierung kann von den Sensorwerten abhängen.

Endlicher Zustandsautomat

- Jedem Zustand wird ein Verhalten zugeordnet.
- Zustandswechsel wird über Sensorwerte gesteuert.



Navigation

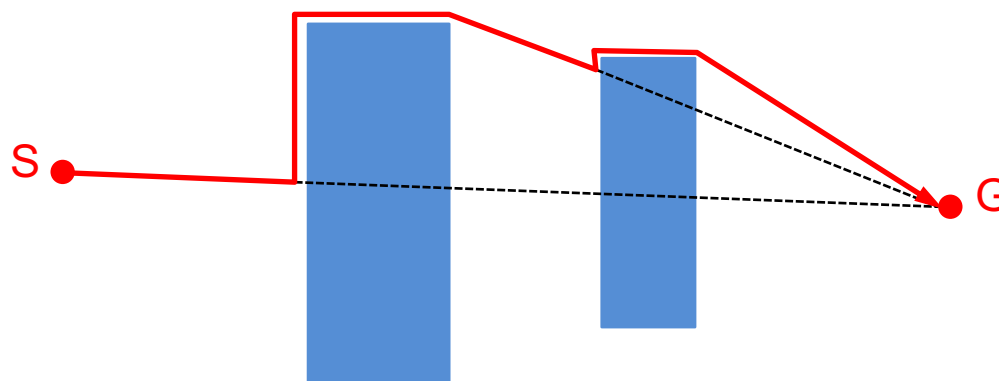
- Überblick
 - Ziel, Architektur, Komponenten
- Reaktive Navigation
 - Insekten als Vorbild
 - Braitenberg-Vehikel
 - Zusammenbau elementarer Navigationsbausteine
 - Bug-Algorithmen
 - Histogramm-Verfahren
 - Dynamik-basiertes Verfahren
- Kartenbasierte Navigation
 - Kürzeste Wege in Graphen:
 - A*, Dijkstra-Verfahren und Breitensuche
 - Verfahren mit Belegtheitsgitter
 - Wegekartenverfahren:
 - Voronoi-Diagramme und probabilistische Wegekarten

Bug Algorithmen

- Durch Insekten inspiriert. Daher der Name.
- Einfache Verhalten:
 - verfolge Wand (links oder rechts herum)
 - gehe auf einer geraden Linie auf Zielpunkt zu
- Einfache Abstandssensorik (oder auch Tastsensor), um Hindernis zu erkennen und Wand zu verfolgen.
- Zielpunkt bekannt.
- Aktuelle Position bekannt.
Roboter kann damit Abstand und Richtung zum Zielpunkt bestimmen.
Forderung lässt sich abschwächen.
- Einfache Umgebung: Menge von Polyeder

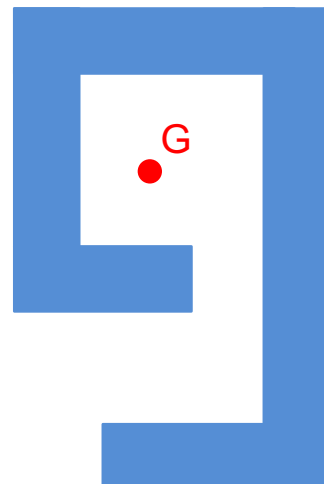
Bug 0 (Naiver Ansatz)

1. Gehe solange auf Ziel zu, bis Ziel erreicht oder Berührung mit Hindernis.
Falls Ziel erreicht, breche mit Erfolg ab.
2. Drehe bei Hindernisberührung nach links (oder rechts) und verfolge Wand solange, bis Bewegung Richtung Ziel möglich.
Gehe zu Schritt 1.



Vollständigkeit eines Navigationsverfahren

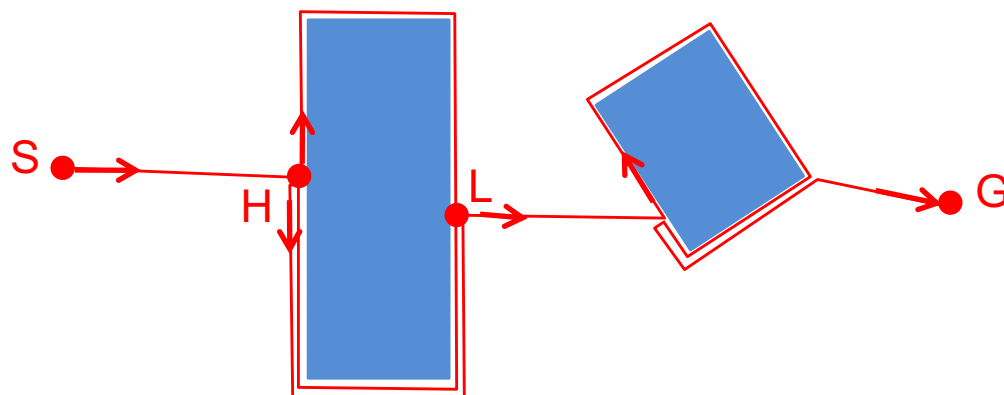
- Ein vollständiges Navigationsverfahren liefert einen Weg von A nach B, falls es einen Weg von A nach B gibt.
- Bug 0 ist **nicht vollständig**:



- Es gibt offensichtlich einen Weg von S nach G.
- Bug 0 findet aber keinen Weg von S nach G.
- Zeichnen Sie den von Bug 0 gewählten Weg ein.

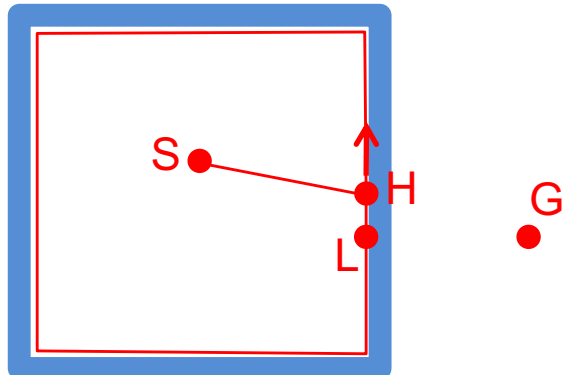
Bug 1

1. Gehe solange auf Ziel zu, bis Ziel erreicht oder Berührung mit Hindernis am Punkt H.
Falls Ziel erreicht, breche mit Erfolg ab.
2. Drehe bei Punkt H (hit point) nach links (oder rechts) und verfolge Wand einen kompletten Umfang lang (d.h. bis H wieder erreicht wird).
3. Gehe zum Punkt L (leave point) mit geringstem Abstand zum Ziel zurück.
Falls bei L Richtung zum Ziel blockiert ist, breche mit Misserfolg ab.
Gehe zu Schritt 1.



Bug 1 bei nicht existierendem Weg

1. Gehe solange auf Ziel zu, bis Ziel erreicht oder Berührung mit Hindernis am Punkt H.
Falls Ziel erreicht, breche mit Erfolg ab.
2. Drehe bei Punkt H nach links (oder rechts) und verfolge Wand einen kompletten Umfang lang (d.h. bis H wieder erreicht wird).
3. Gehe zum Punkt L mit geringstem Abstand zum Ziel zurück.
Falls bei L Richtung zum Ziel blockiert ist, breche mit Misserfolg ab.
Gehe zu Schritt 1.



Analyse von Bug 1

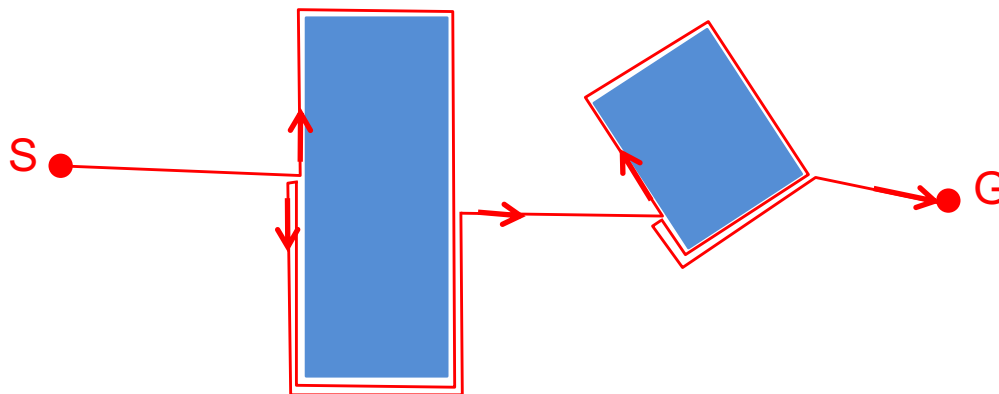
- Bug 1 ist vollständig
- Länge l des gefahrenen Wegs:

$$l \leq d + \frac{3}{2} \sum_{i=1}^M p_i$$

d ist der Euklidische Abstand zwischen S und G

p_i ist der Umfang des i-ten Hindernisses

M ist die Anzahl der Hindernisse.



Ein besserer Bug-Algorithmus?

- Bug 0 ist ein gieriger (greedy) Algorithmus:
gehe direkt auf Ziel zu, sobald möglich.

Problem: Endlosschleifen in manchen Situationen

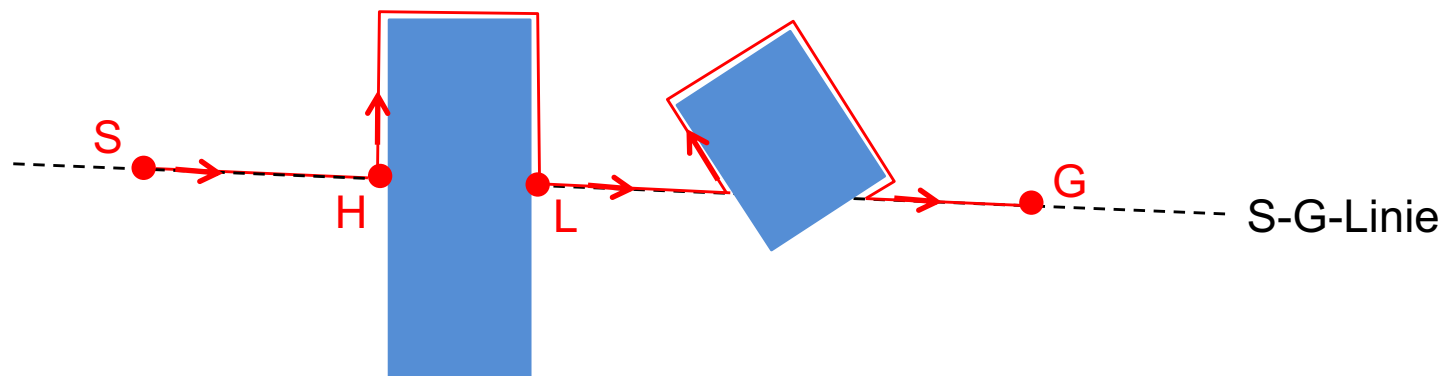
- Bug 1 zeichnet sich durch eine
erschöpfende Suche (exhaustive search) aus:
schau Hindernis zuerst komplett an und
entscheide dann über weiteren Weg.

Problem: Wege sind in vielen Fällen unnötig lang.

- Bug 2 ist wie Bug 0 ein gieriges Vefahren,
jedoch werden Endlos-Schleifen vermieden.

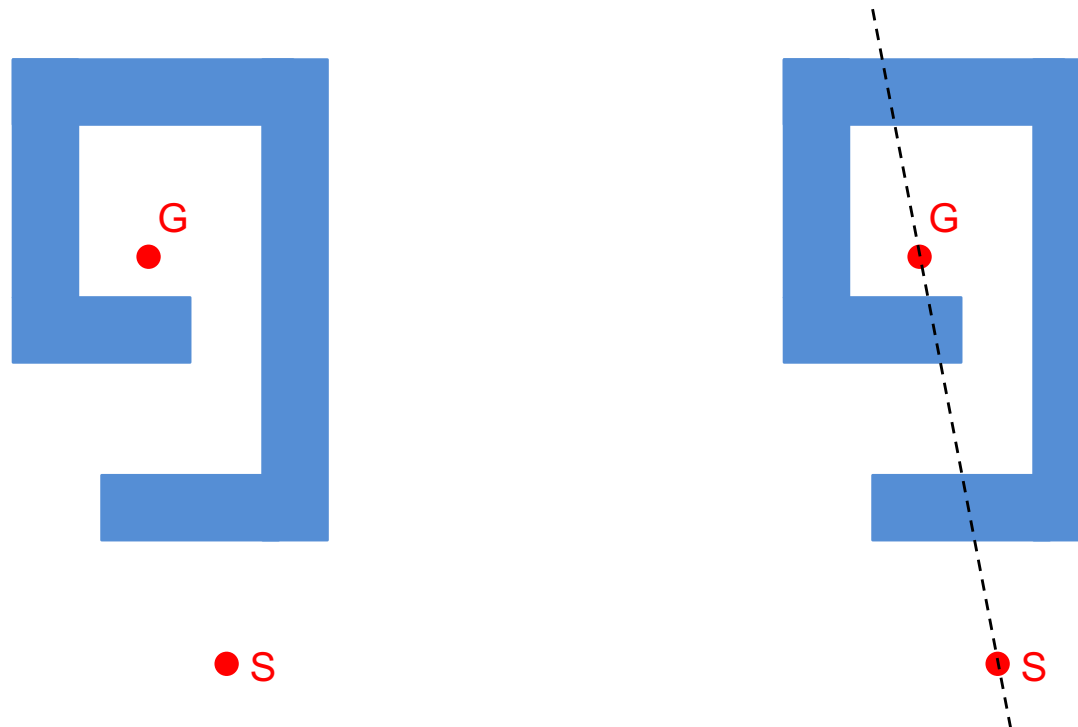
Bug 2

1. Gehe auf S-G-Linie solange auf Ziel zu, bis Ziel erreicht oder Berührung mit Hindernis am Punkt H.
Falls Ziel erreicht, breche mit Erfolg ab.
2. Drehe bei Punkt H nach links (oder rechts) und verfolge Wand bis
 - a) Punkt H wieder erreicht wurde oder
 - b) ein Punkt L erreicht wurde, der auf der S-G-Linie liegt und näher zum Ziel als der Punkt H liegt und nicht blockiert ist.
Im Fall a) breche mit Misserfolg ab.
Im Fall b) mache mit Schritt 1 weiter.



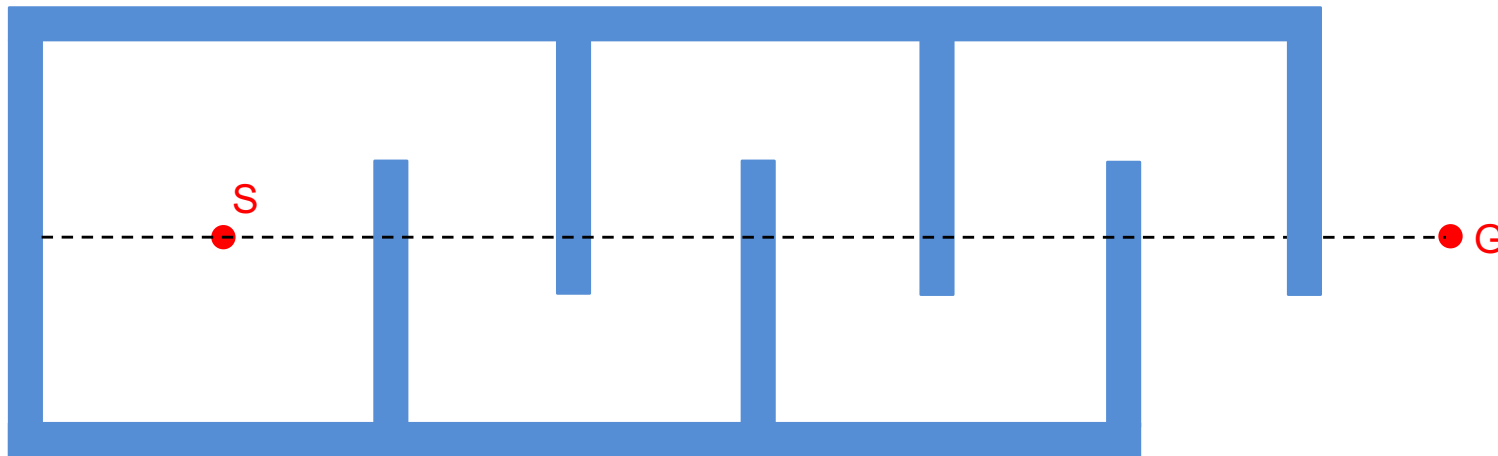
Aufgabe

- Führen Sie Bug 1 und Bug 2 in folgendem Szenario aus:



Aufgabe

- Wie verhält sich Bug 2 in folgendem Szenario?



Analyse von Bug 2

- Bug 2 ist vollständig
- Länge l des gefahrenen Wegs:

$$l \leq d + \frac{1}{2} \sum_{i=1}^M n_i p_i$$

d ist der Euklidische Abstand zwischen S und G

p_i ist der Umfang des i-ten Hindernisses

n_i ist die Anzahl der Schnittpunkte der S-G-Linie mit dem i-ten Hindernis.

M ist die Anzahl der Hindernisse.

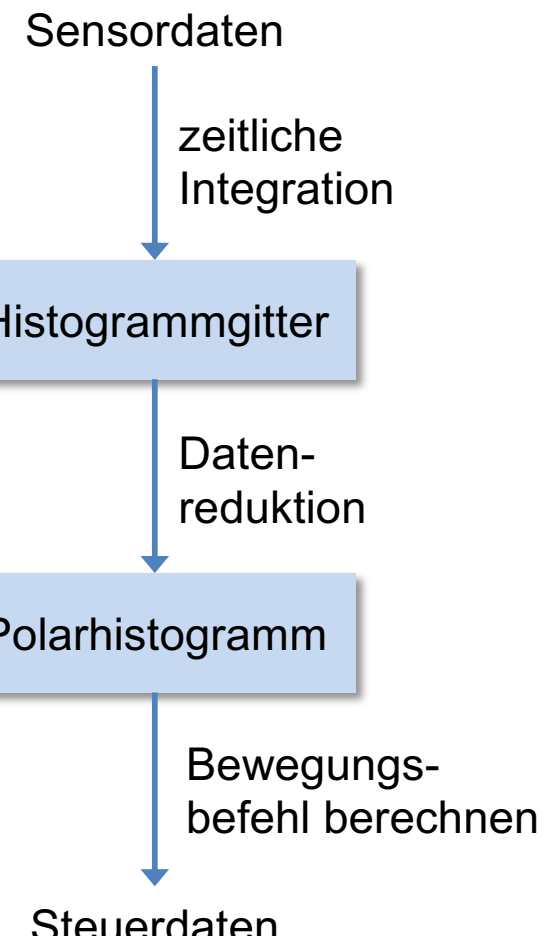
- Begründung für die Obergrenze der Wegelänge:
die Hälfte der Schnittpunkte der S-G-Linie mit den Hindernissen sind H-Punkte und die andere Hälfte sind L-Punkte.
Nur für die H-Punkte wird eine Wandverfolgung begonnen,
die maximal die Länge des Hindernisumfangs hat.

Navigation

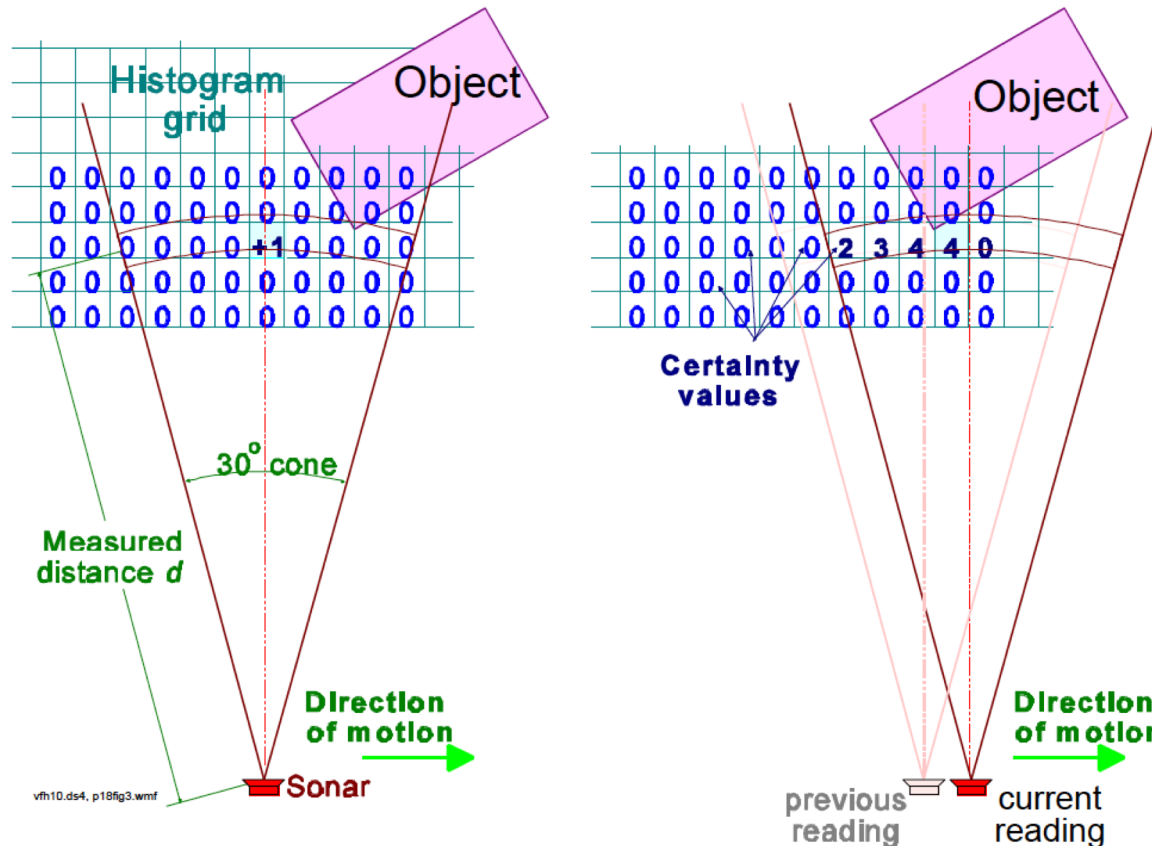
- Überblick
 - Ziel, Architektur, Komponenten
- Reaktive Navigation
 - Insekten als Vorbild
 - Braitenberg-Vehikel
 - Zusammenbau elementarer Navigationsbausteine
 - Bug-Algorithmen
 - Histogramm-Verfahren
 - Dynamik-basiertes Verfahren
- Kartenbasierte Navigation
 - Kürzeste Wege in Graphen:
 - A*, Dijkstra-Verfahren und Breitensuche
 - Verfahren mit Belegtheitsgitter
 - Wegekartenverfahren:
 - Voronoi-Diagramme und probabilistische Wegekarten

Vector Field Histogram (VFH)

- Borenstein und Koren: VFH 1991.
- Weitere Verbesserungen durch Ulrich und Borenstein:
VFH+ 1998 (Dynamik u. Größe des Roboters)
VFH* 2000 (= VHF + A*)
- Aufbau einer lokalen Umgebungskarte (Histogrammgitter, histogram grid) durch zeitliche Integration von Sensor-Abstandsinformationen
- Aus der Umgebungskarte wird für die einzelnen Richtungen (bzgl. Roboter-Koordinatensystem) die Hindernisdichte berechnet: Polarhistogramm
- Auf Basis des Polarhistogramms wird Bewegungsbefehl (v, ω) berechnet



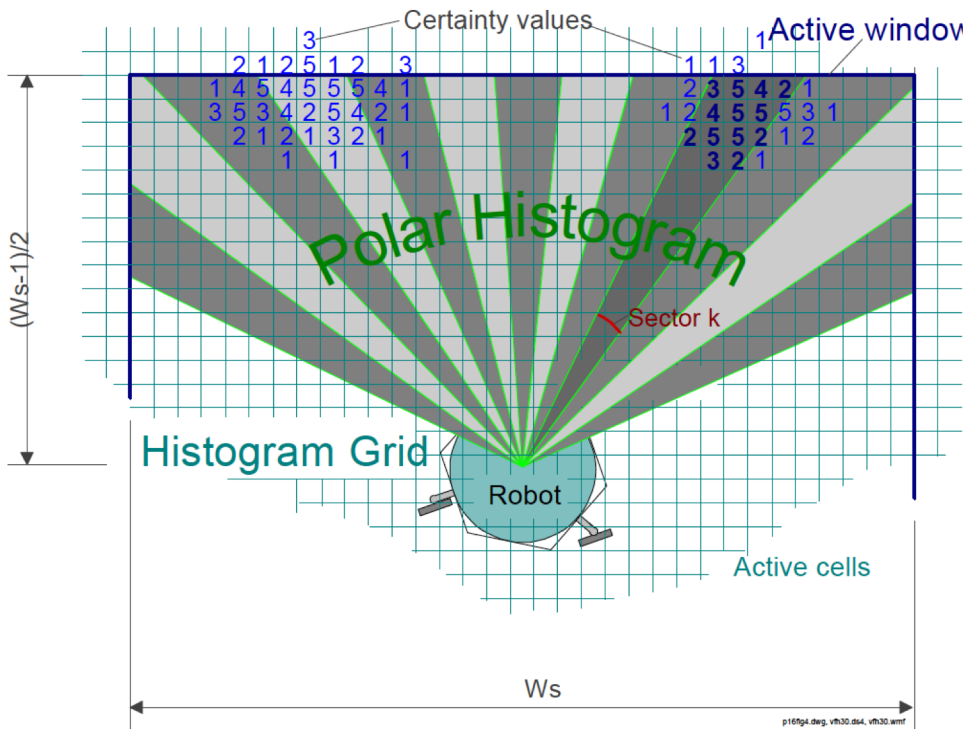
Histogrammgitter



Abbildungen (auch auf den folgenden Seiten) aus [Borenstein und Koren, 1991].

- Für jeden Sensor-Abstandswert wird die entsprechende Zelle des zweidimensionalen Histogrammgitters inkrementiert.
- Sensorwerte werden über einen längeren Zeitraum gesammelt.
- Histogrammgitter wird auf einen lokalen Bereich um den Roboter (z.B. 5m*5m) begrenzt mit einer Zellgröße von 0.1m.

Polar Histogram



- Jede Zelle i des Histogrammgitters hat einen Belegheitswert c_i
- Für jede belegte Zelle i werden Polarkoordinaten d_i , α_i (bzgl. Roboter-KS) berechnet.
- Daraus wird Einflussfaktor m_i bestimmt (a,b Konstante):

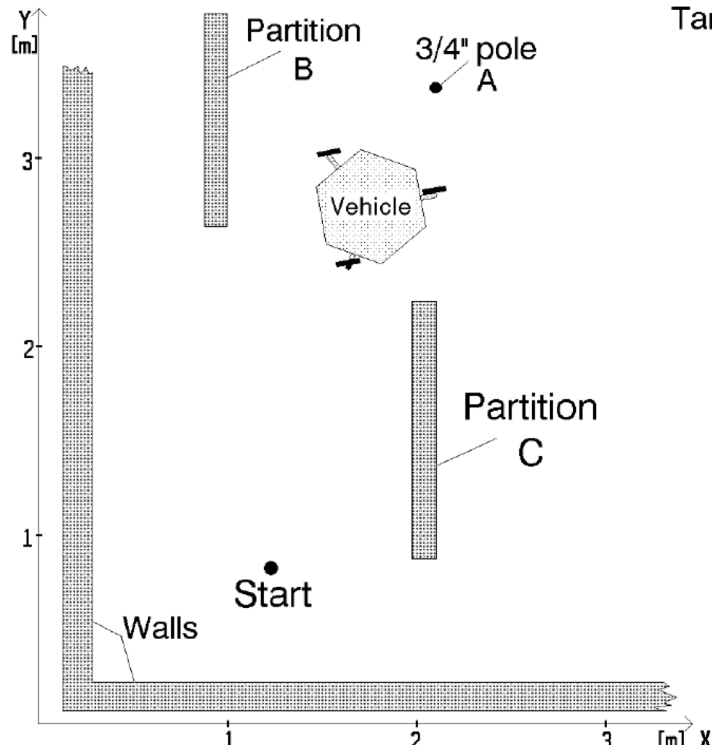
$$m_i = c_i^2(a - bd_i)$$

- Winkel werden in Sektoren s aufgeteilt (z.B. 72 Sektoren mit 5 Grad)
- Für jeden Sektor s wird Belegheitsdichte $h(s)$ ermittelt (Polar-Histogramm)

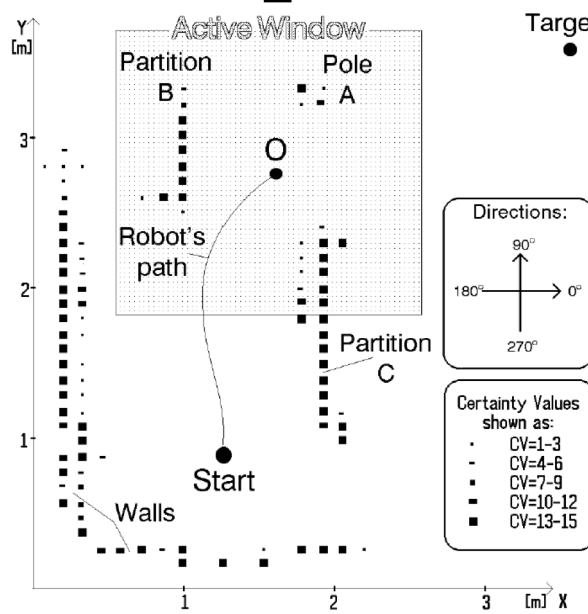
$$h(s) = \sum_{\text{Zelle } i \text{ in } s} m_i$$

- Polarhistogramm wird noch geglättet

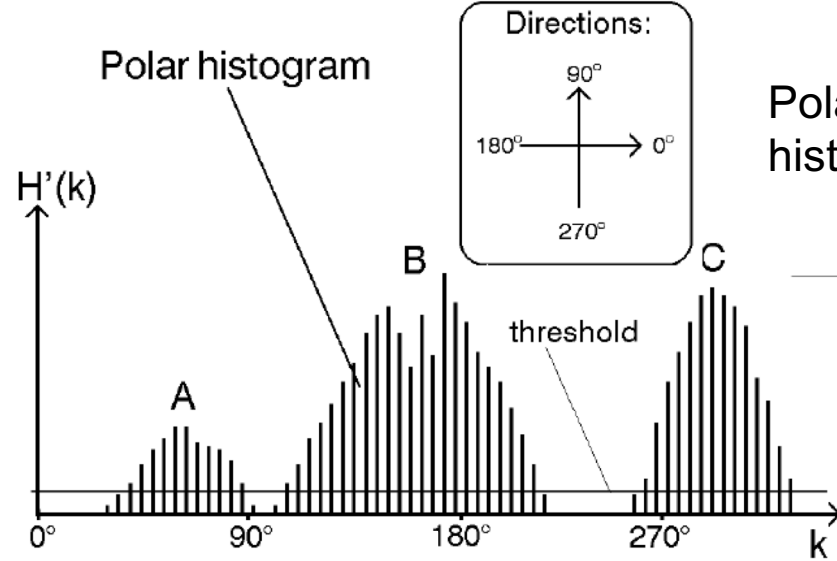
Typisches Szenario



Roboter und Umgebung



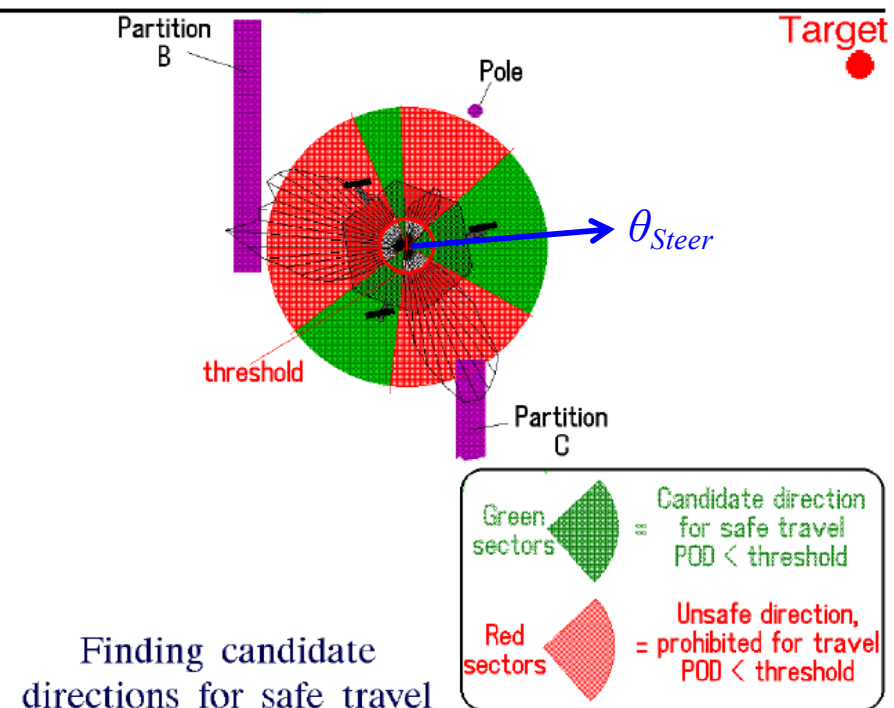
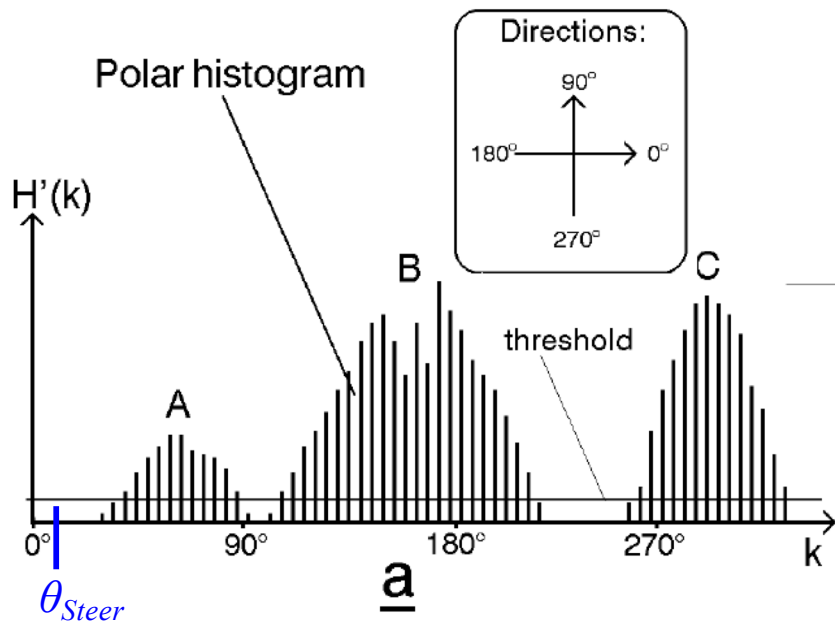
Histogramm-gitter



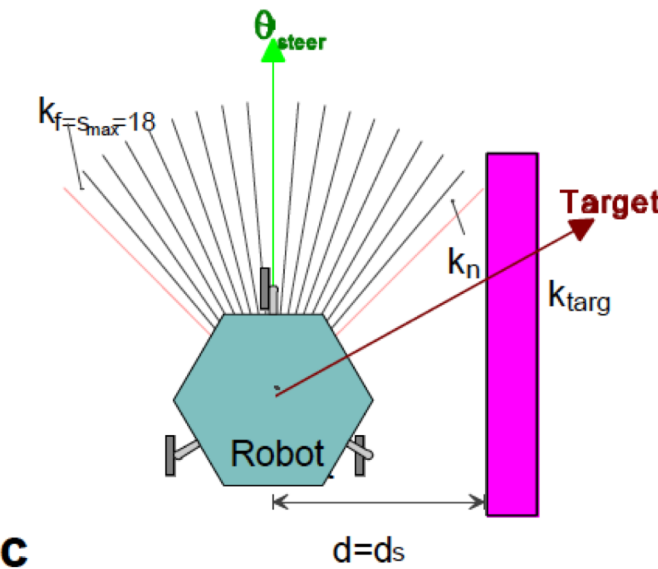
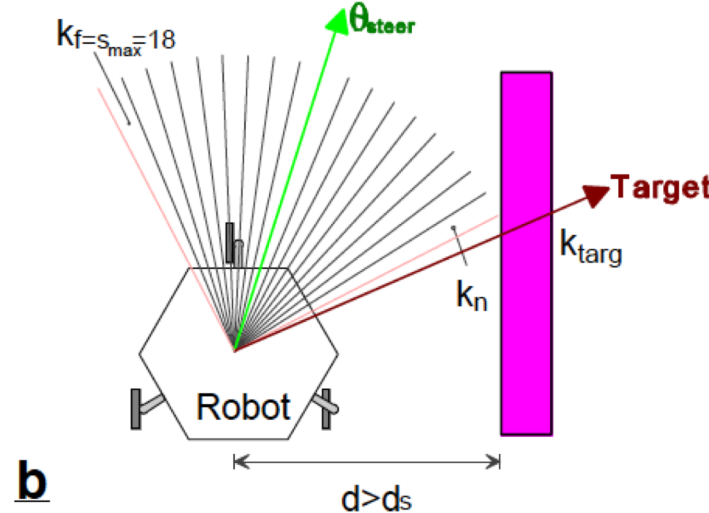
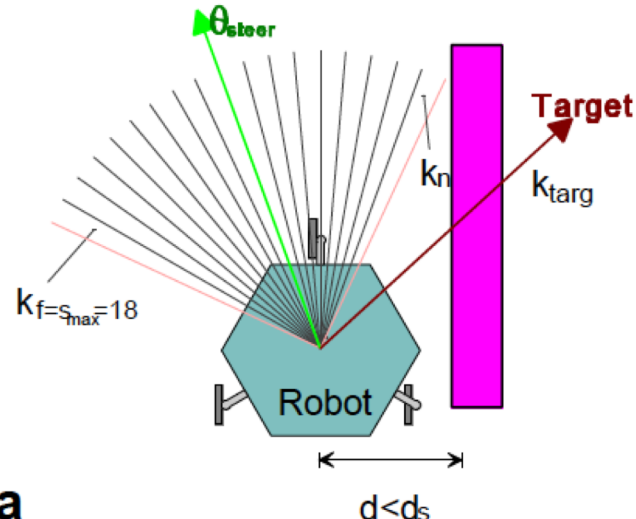
Polar-histogramm

Berechnung der Bewegungsrichtung

- Im Polarhistogramm werden alle Täler (lokale Minima) betrachtet, deren Histogrammwerte unterhalb einer bestimmten Schwelle (threshold) liegen.
- Es wird dajenige Tal gewählt, das am besten zur Ziel-Richtung passt.
- Als Bewegungsrichtung θ_{Steer} wird die Talmitte gewählt.
Jedoch Begrenzung bei breiten Tälern.

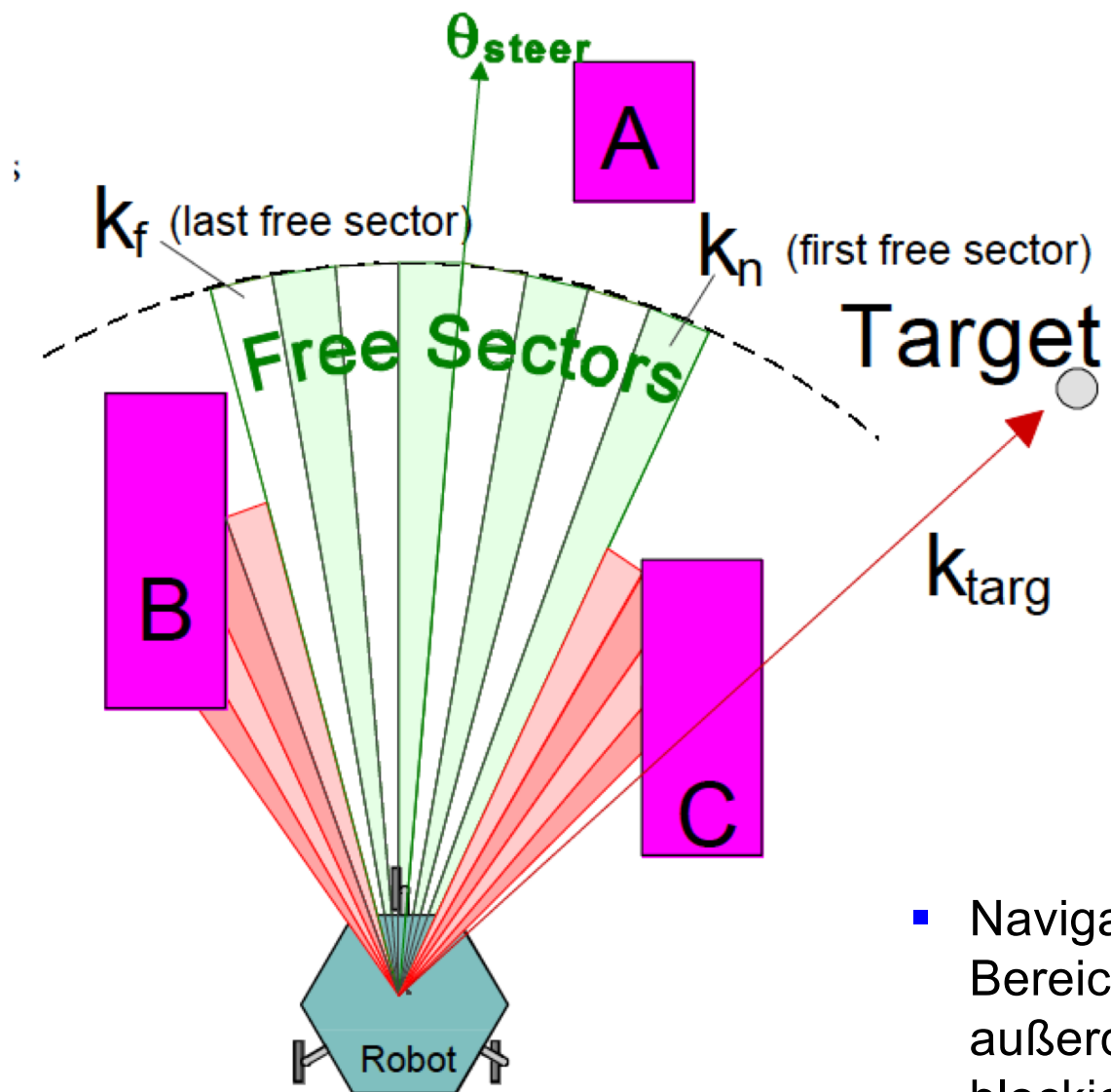


Berechnung der Bewegungsrichtung - Beispiel



- Navigationrichtung entlang einer Wand bleibt stabil.

Berechnung der Bewegungsrichtung - Beispiel



- Navigation in einem engen Bereich. Die Zielrichtung ist außerdem durch ein Hindernis blockiert.

Berechnung des Bewegungsbefehls

- Rotationsgeschwindigkeit ω wird proportional zur Abweichung zwischen tatsächlicher Ausrichtung θ und gewünschter Ausrichtung θ_{Steer} (begrenzt auf ω_{max}) gesetzt:

$$\omega = \min(\omega_{max}, k * (\theta_{steer} - \theta))$$

- Translationsgeschwindigkeit v wird umgekehrt proportional zur Hindernisdichte $h(\theta_{Steer})$ in gewünschter Richtung und umgekehrt proportional zur Rotationsgeschwindigkeit ω gesetzt. Bei freier Geradeaus-Fahrt wird Maximalgeschwindigkeit gewählt.

$$v = v_{max} \left(1 - \frac{h(\theta_{steer})}{h_0} \right) \left(1 - \frac{\omega}{\omega_{max}} \right)$$

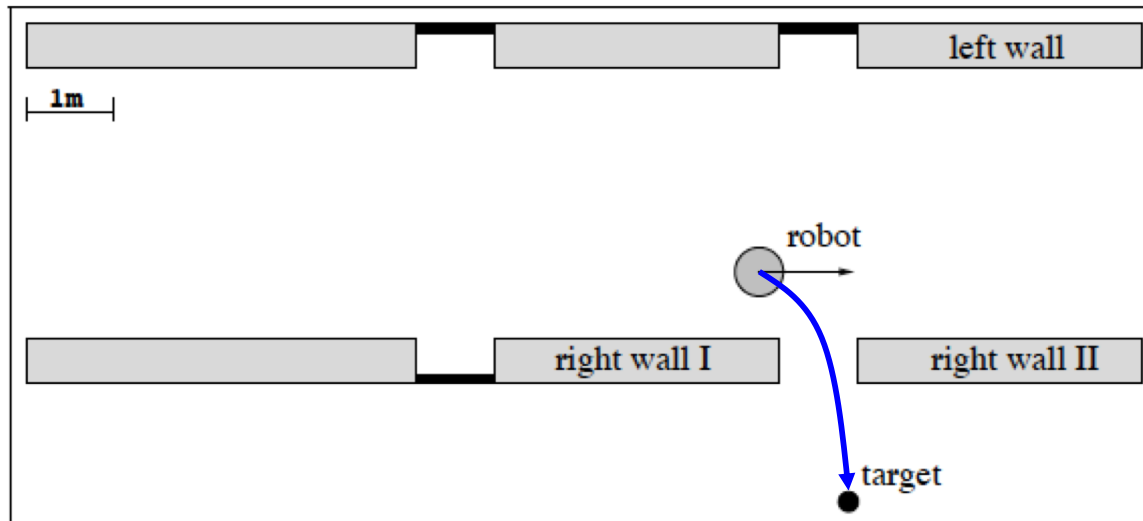
- Verfahren wurde im Praxiseinsatz mit $\omega_{max} = 120$ Grad/sec und $v_{max} = 0.8$ m/sec erfolgreich getestet.

Navigation

- Überblick
 - Ziel, Architektur, Komponenten
- Reaktive Navigation
 - Insekten als Vorbild
 - Braitenberg-Vehikel
 - Zusammenbau elementarer Navigationsbausteine
 - Bug-Algorithmen
 - Histogramm-Verfahren
 - Dynamik-basiertes Verfahren
- Kartenbasierte Navigation
 - Kürzeste Wege in Graphen:
 - A*, Dijkstra-Verfahren und Breitensuche
 - Verfahren mit Belegtheitsgitter
 - Wegekartenverfahren:
 - Voronoi-Diagramme und probabilistische Wegekarten

Dynamic Window Approach (DWA)

- Fox, Burgard und Thrun,
The Dynamic Window Approach to Collision Avoidance, 1997.
- Auswahl des Steuerbefehls (v , ω) unter Berücksichtigung der dynamischen Fähigkeiten des Roboters (Beschleunigung und Winkelbeschleunigung).



alle Abbildungen auch auf den folgenden Seiten aus [Fox, Burgard u. Thrun, 1997]

Nur bei bestimmten Geschwindigkeiten und dynamischen Fähigkeiten ist es sinnvoll, den Roboter direkt zum Ziel zu steuern.

DWA-Verfahren

1. Festlegung des Suchraums für eine Zielfunktion:

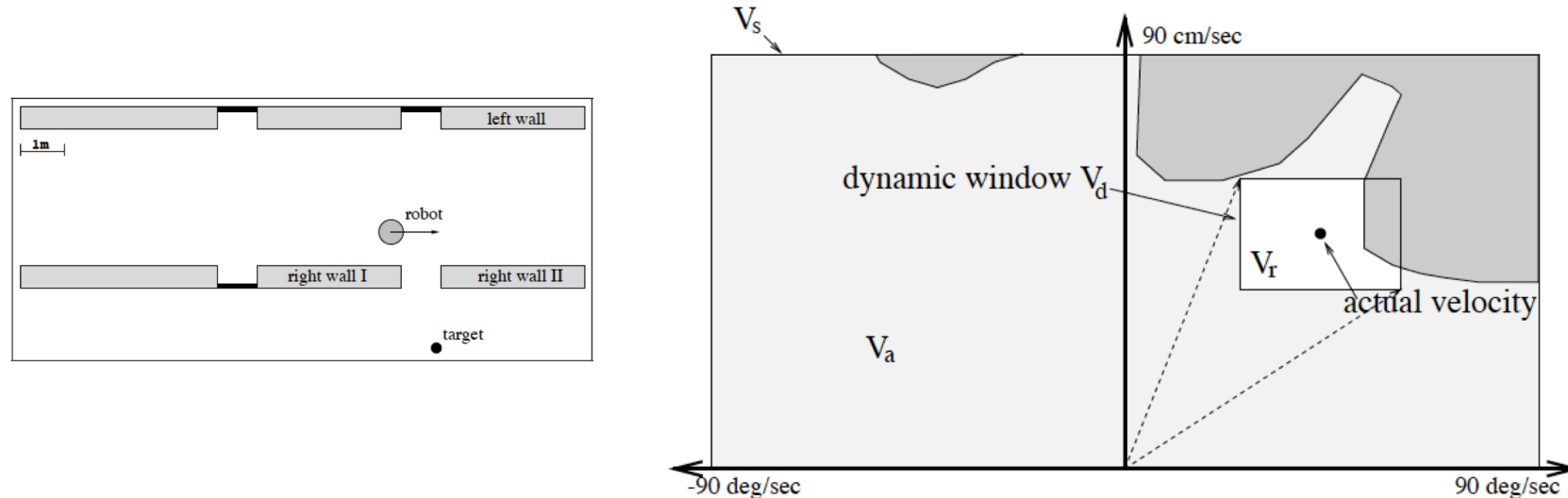
Es werden alle Steuerbefehle (v, ω) betrachtet, die aufgrund der kinematischen Fähigkeiten des Roboters (Beschleunigung und Winkelbeschleunigung) möglich und aufgrund der Hindernisse erlaubt (kollisionsfrei) sind.

2. Auswahl des bestmöglichen Steuerbefehls (v, ω) mit einer dreiteiligen Zielfunktion:

- gute Zielausrichtung
- weite Entfernung von Hindernissen
- hohe Geschwindigkeit

Suchraum

- Festlegung der kinematisch möglichen und der zulässigen (d.h. kollisionsfreien) Steuerbefehle (v, ω)



V_s = Bereich mit allen möglichen Steuerbefehlen.

V_d = kinematisch mögliche Steuerbefehle.

V_a = zulässige Steuerbefehle (d.h. kollisionsfrei).

- Suchraum für Zielfunktion:

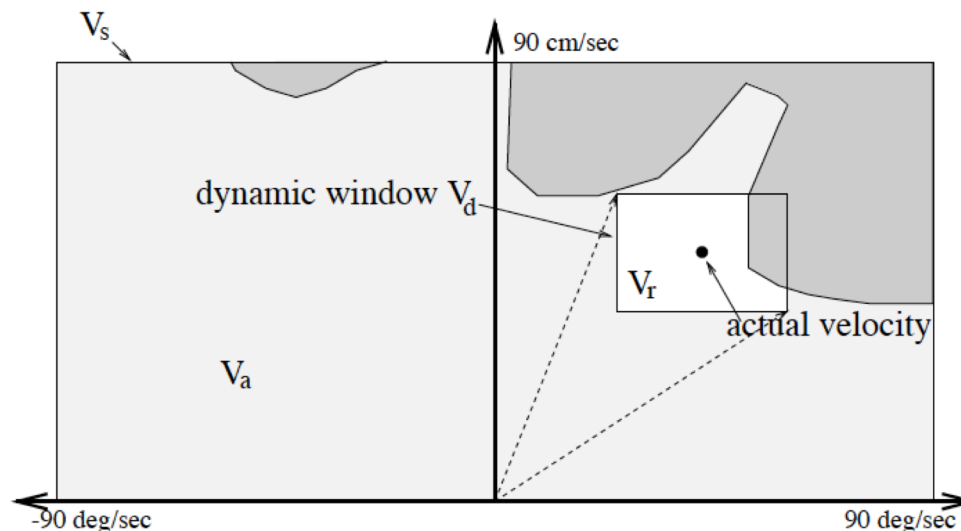
$$V_r = V_s \cap V_d \cap V_a$$

Kinematisch mögliche Steuerbefehle

- V_d umfasst alle Geschwindigkeiten, die im nächsten Zeitschritt T erreichbar sind.
- Dabei wird von einer maximal möglichen Beschleunigung a und Winkelbeschleunigung α des Roboters ausgegangen.

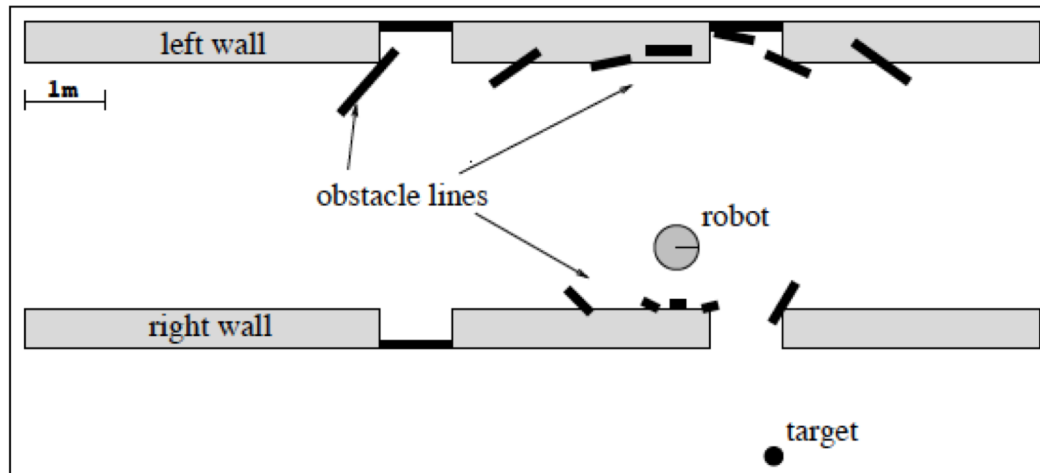
$$V_d = \{(v, \omega) / v_a - aT \leq v \leq v_a + aT \text{ und}$$
$$\omega_a - \alpha T \leq \omega \leq \omega_a + \alpha T\}$$

- Dabei ist v_a , ω_a die aktuelle Geschwindigkeit bzw. Winkelgeschwindigkeit.

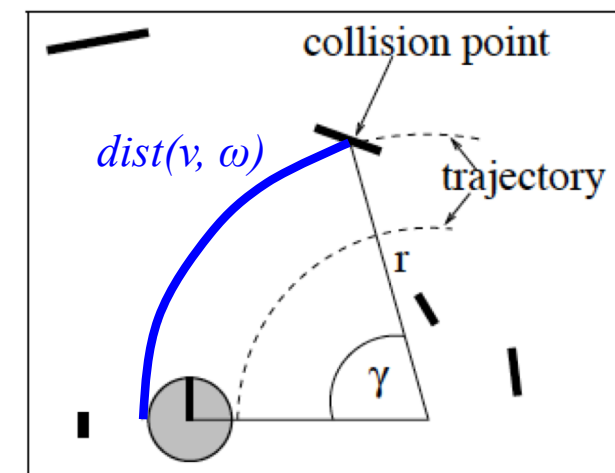


Zulässige Steuerbefehle

- Ein Steuerbefehl (v, ω) wird als zulässig definiert, wenn der Roboter beim Fahren des Kreisbogens, der durch (v, ω) definiert ist, rechtzeitig vor dem nächsten Hindernis bremsen kann.
- Dazu wird definiert:
 $dist(v, \omega)$ = Abstand zum nächsten Hindernis, beim Befahren des durch (v, ω) definierten Kreisbogens.
- Minimaler Bremsweg muss dann $\leq dist(v, \omega)$ sein.

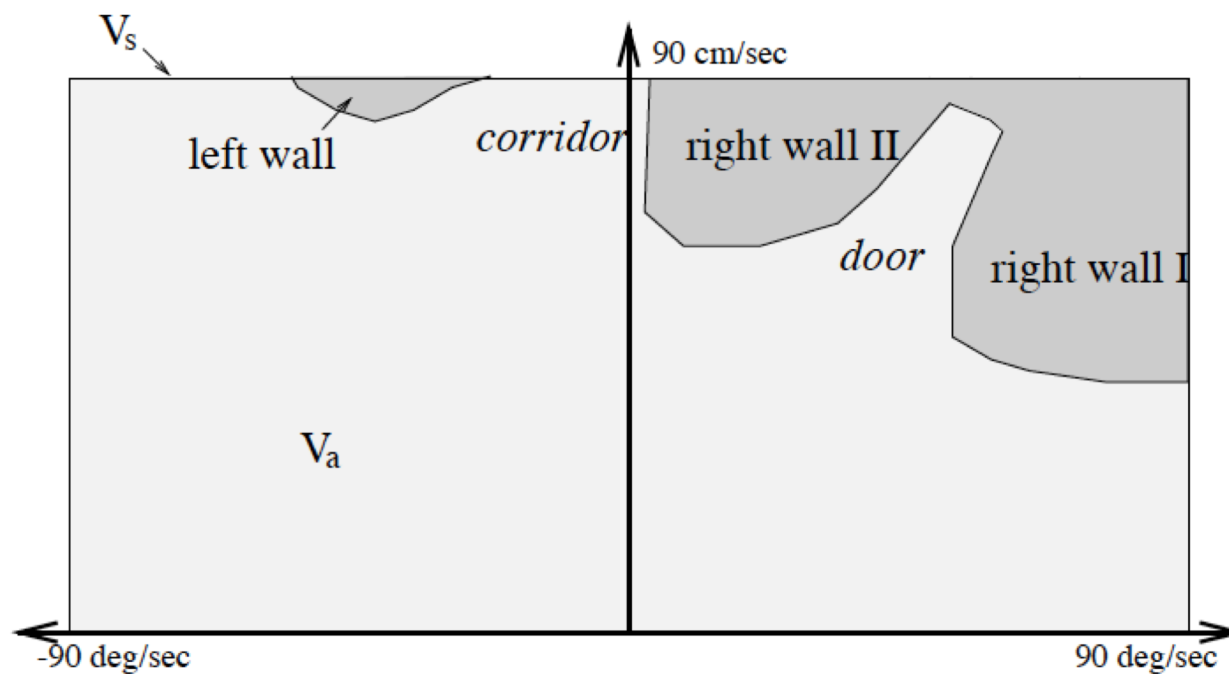
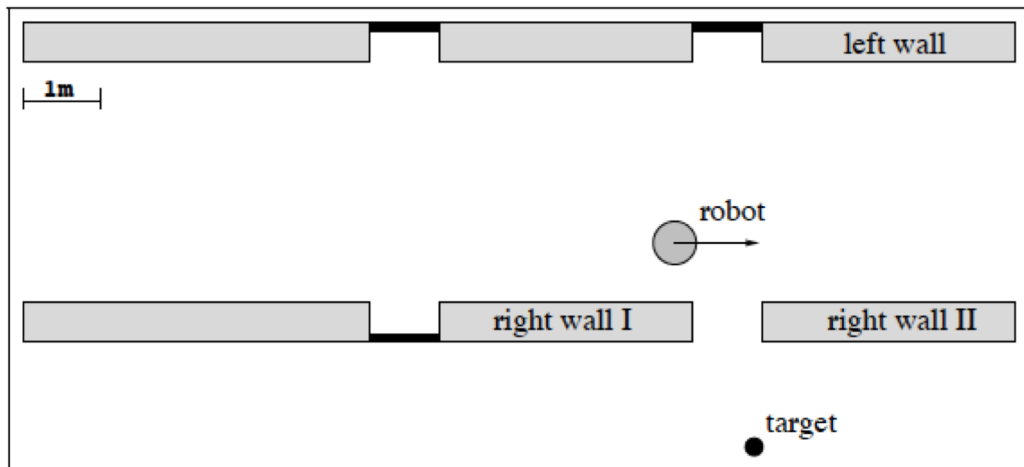


Umgebung mit Hindernispunkten



Durch Steuerbefehl (v, ω) ist Kreisbogen mit Radius $r = v/\omega$ definiert.

Beispiel für zulässige Steuerbefehle



- Zulässige Steuerbefehle sind hellgrau dargestellt.
- Nicht zulässige dunkelgrau.
- Maximale Beschleunigung ist dabei 0.5m/sec^2 und $60^\circ/\text{sec}^2$

Zielfunktion

- Auf jeden Steuerbefehl im diskretisiertem Suchraum wird folgende Zielfunktion angewandt.

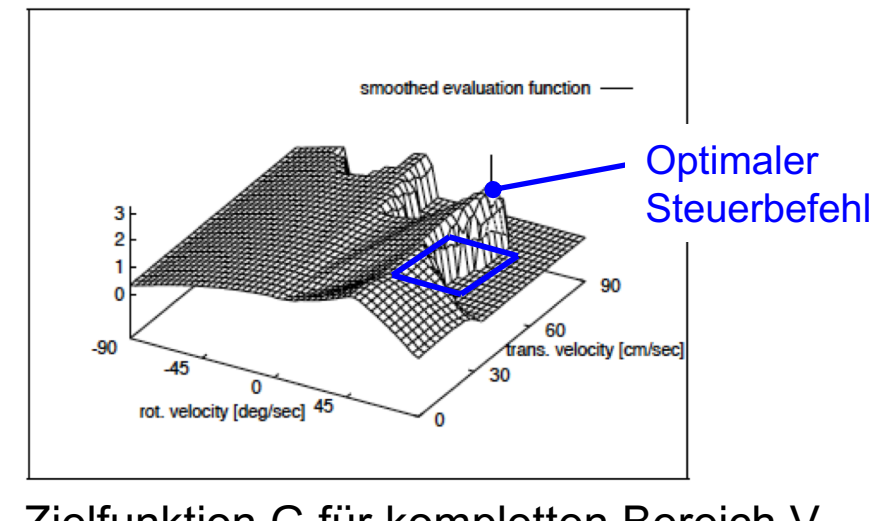
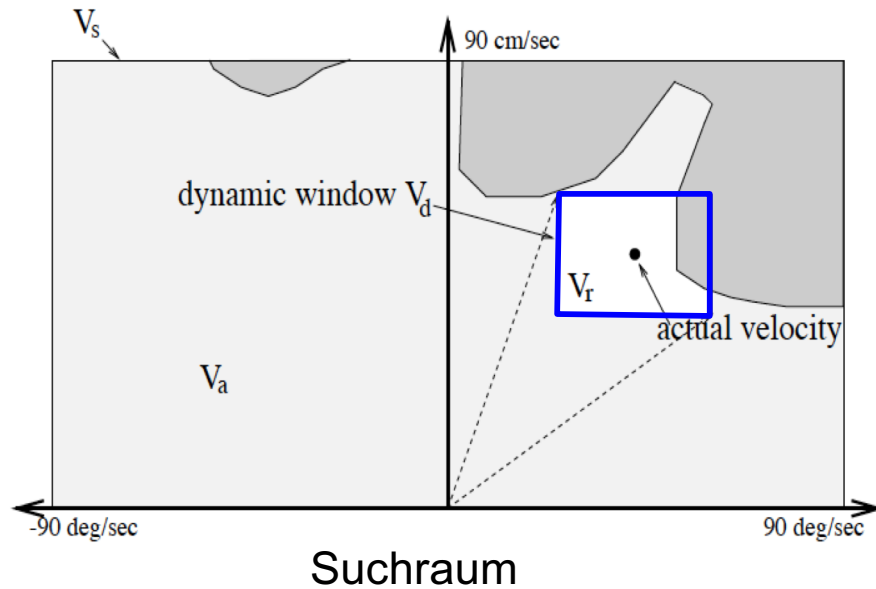
$$G(v, \omega) = a * heading(v, \omega) + b * dist(v, \omega) + c * velocity(v, \omega)$$

heading(v, ω) Zielausrichtung

dist(v, ω) Hindernisentfernung

velocity(v, ω) = v Geschwindigkeit

- Die Zielfunktion G wird geglättet und Steuerbefehl mit maximalem Zielwert gewählt.

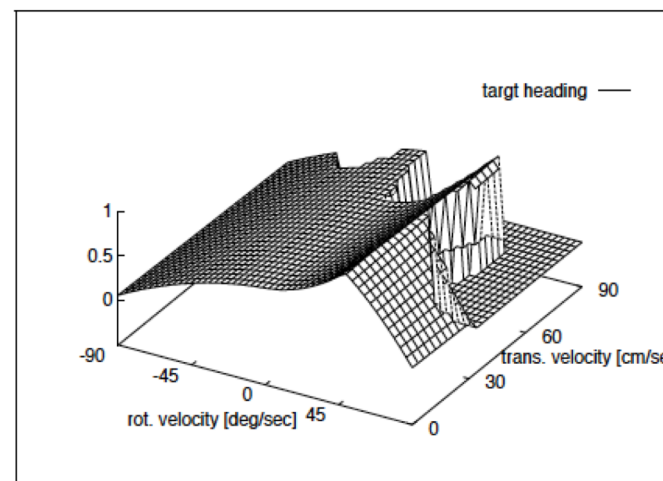
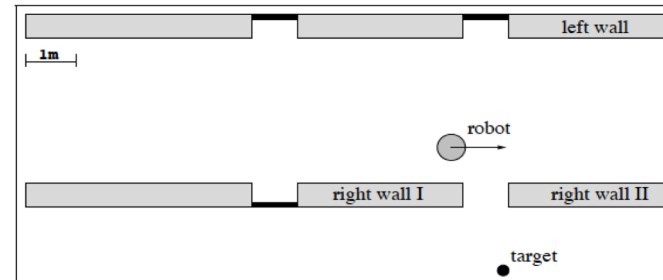
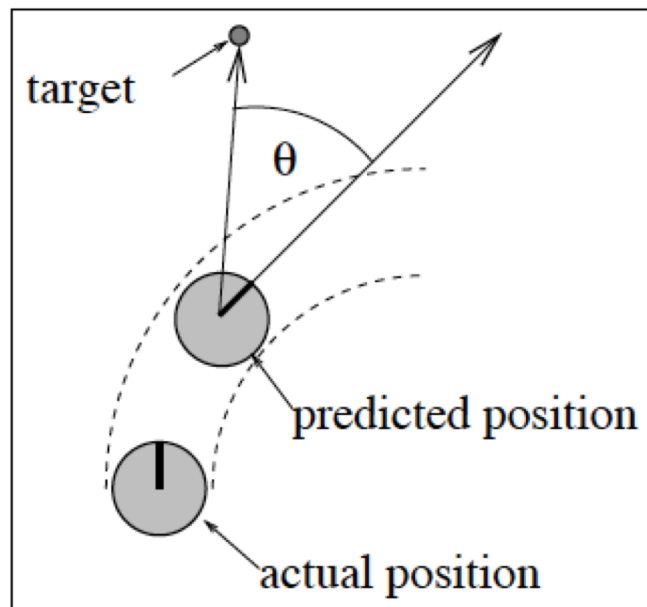


Zielfunktion G für kompletten Bereich V_s

Zielfunktion - heading

$$\text{heading}(v, \omega) =$$

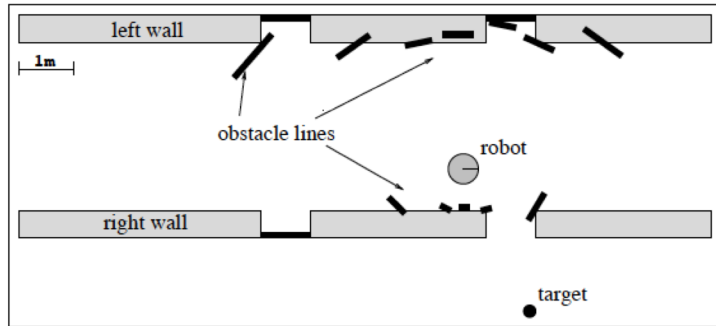
Abweichung der Ausrichtung des Roboters von der Zielausrichtung, nachdem der Roboter den Steuerbefehl (v, ω) ein Zeitschritt T lang durchgeführt hat.



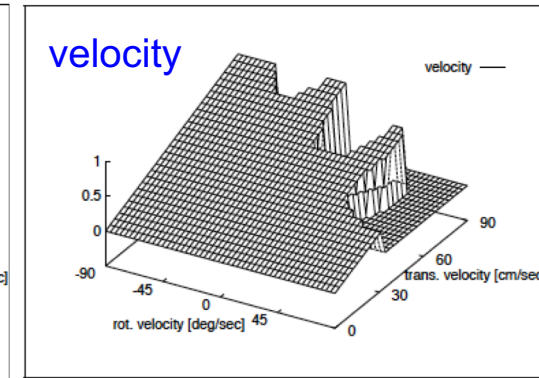
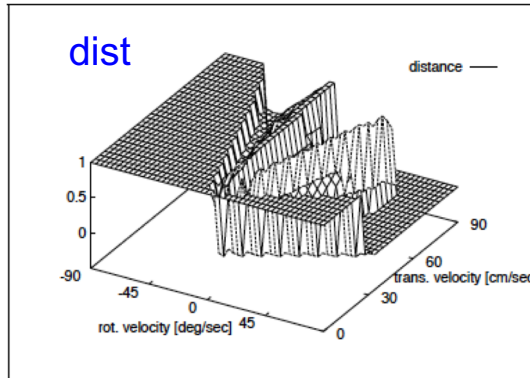
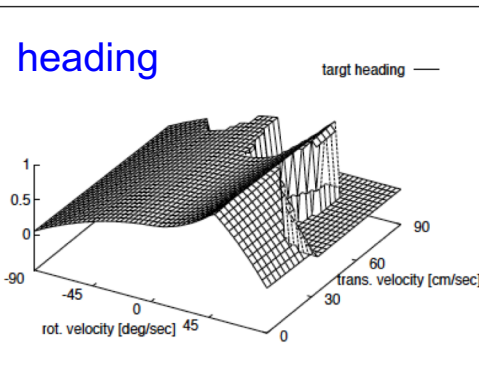
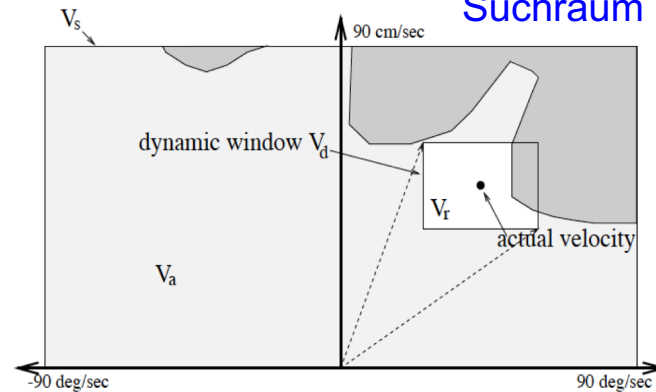
$$\text{heading}(v, \omega)$$

DWA Beispiel

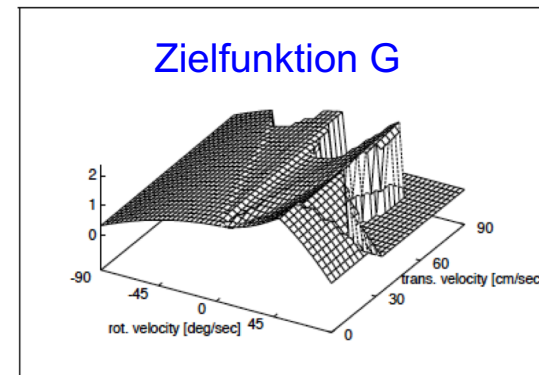
Umgebung mit Hindernissen



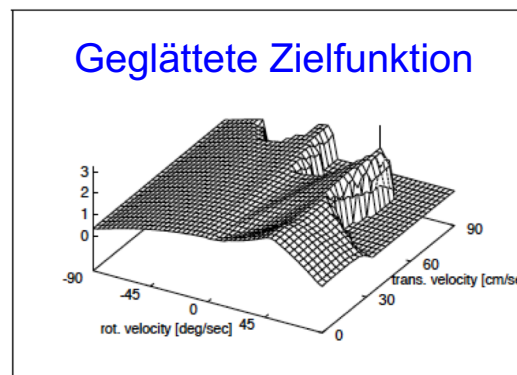
Suchraum



Zielfunktion G

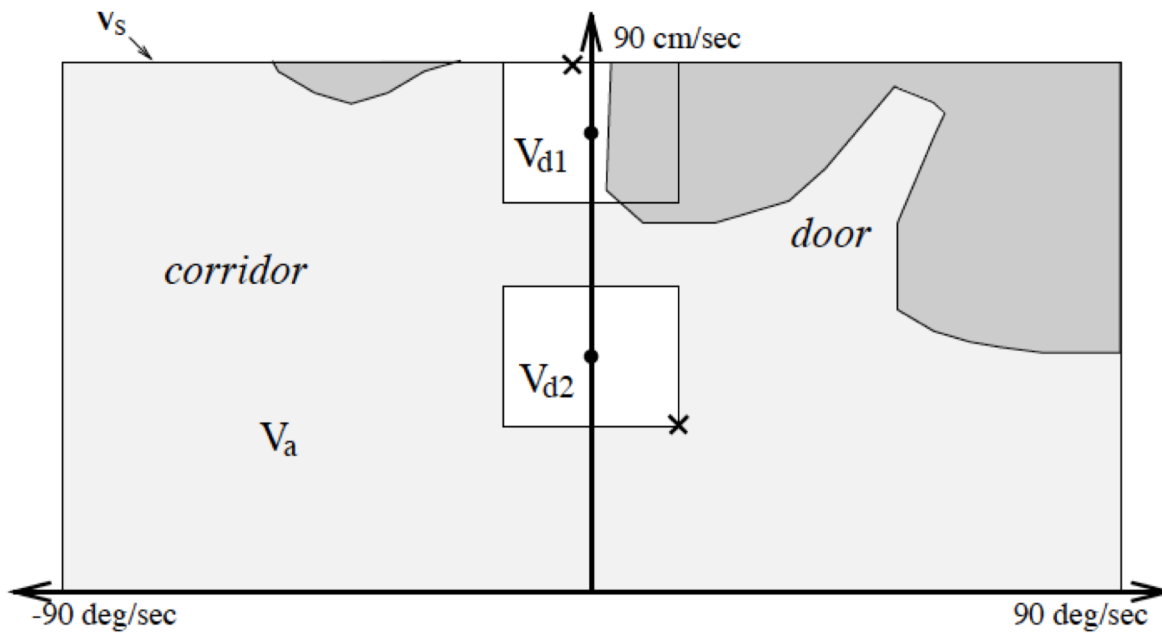
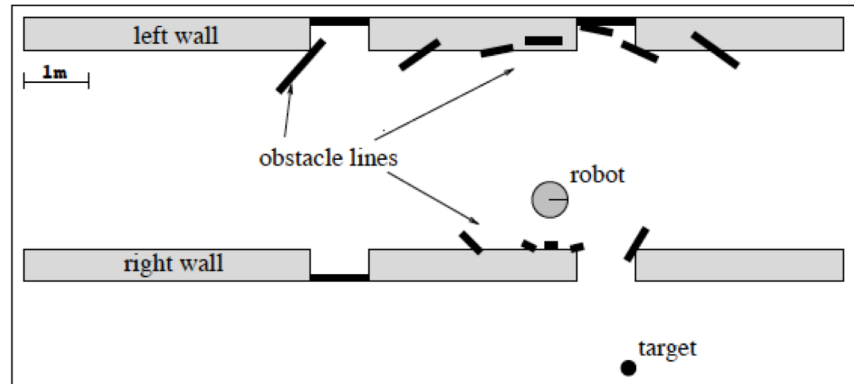


Geglättete Zielfunktion



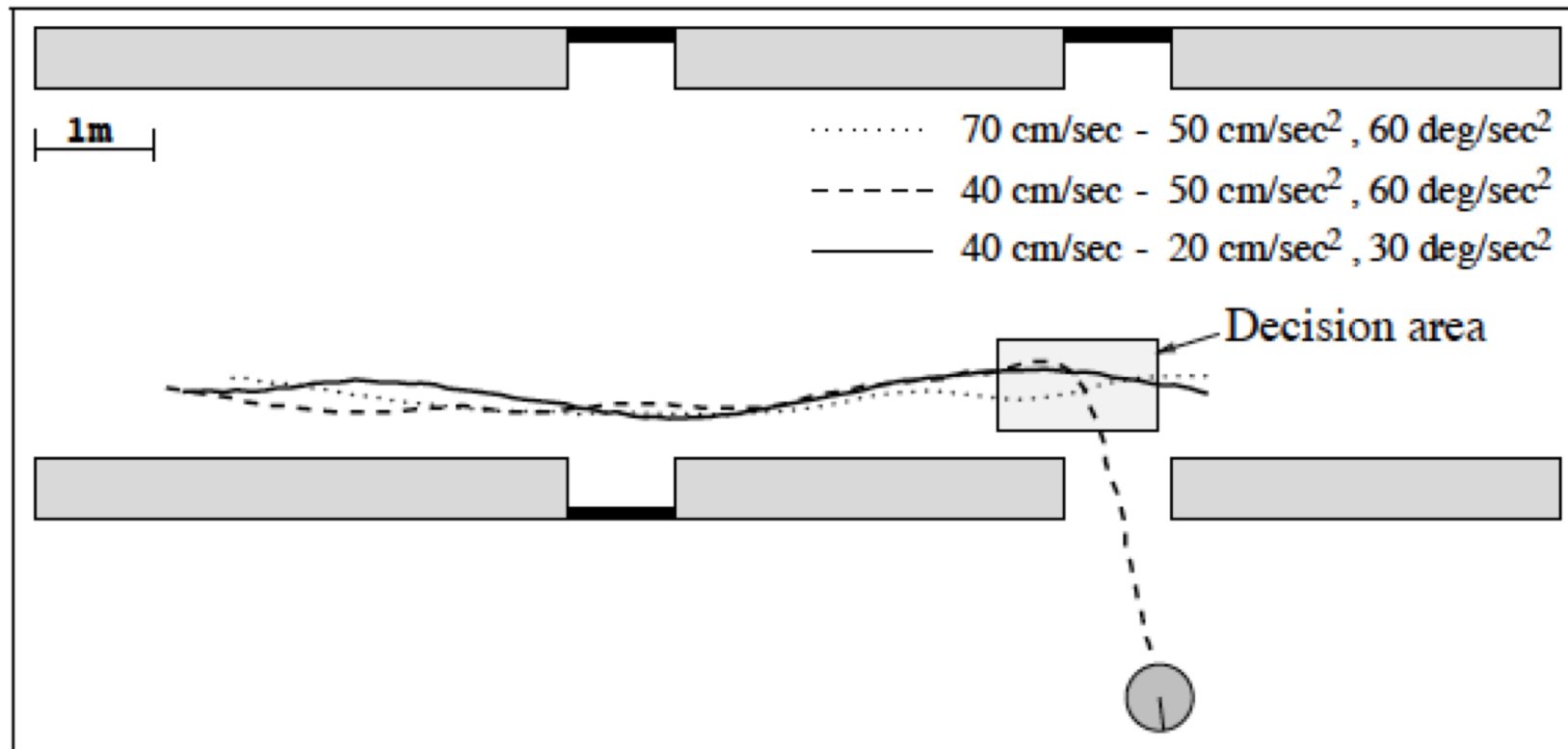
$$G = 2.0 * \text{heading} \\ + 0.2 * \text{dist} \\ + 0.2 * \text{velocity}$$

DWA bei unterschiedlichen Geschwindigkeiten

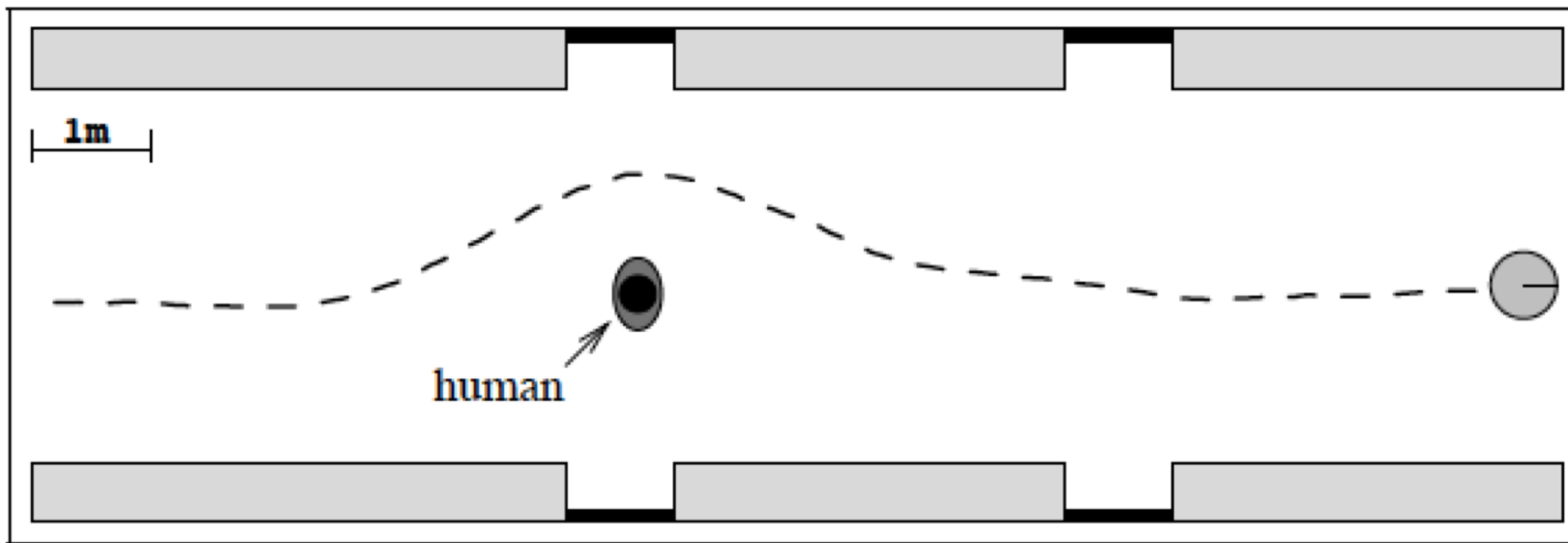


- Dynamik-Fenster bei 0.75 m/sec und 0.4 m/sec
- Berechneter optimaler Steuerbefehl durch x dargestellt.

Navigationspade für verschiedene dyn. Bedingungen

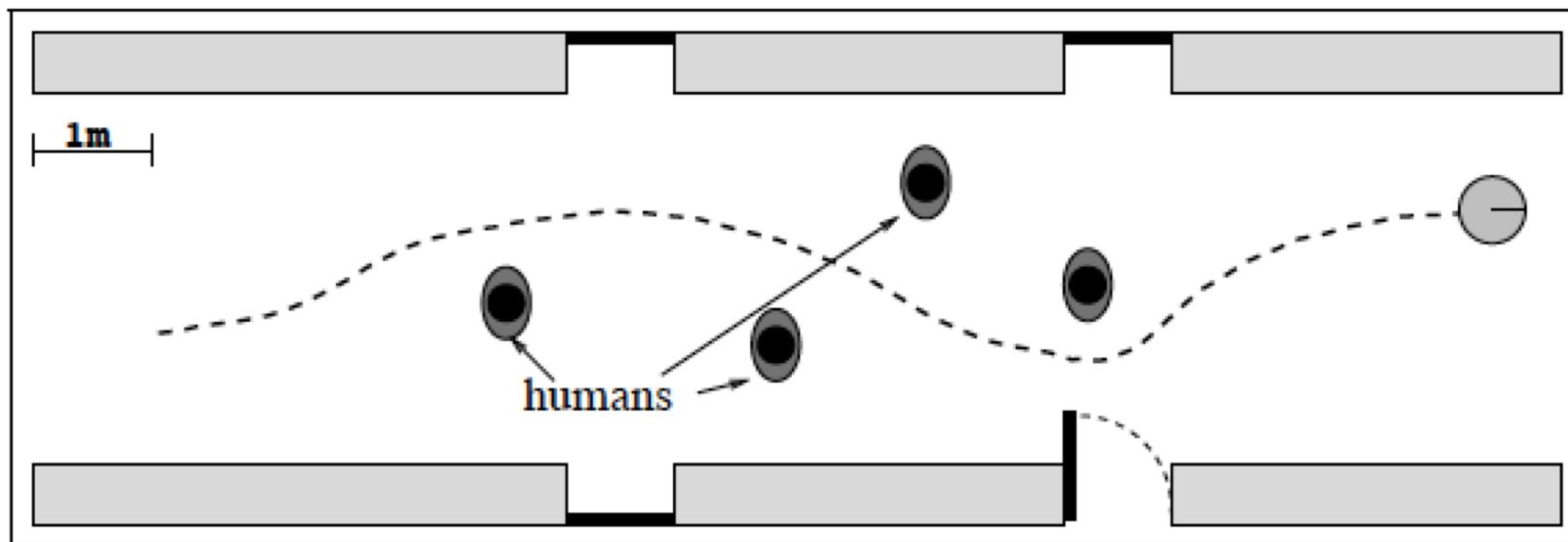


Navigationspfad mit dynamischem Hindernis



- Geschwindigkeit bei Umfahrung der Person: 0.55 m/sec
 - Durchschnittsgeschwindigkeit: 0.72 m/sec

Navigationspfad mit mehreren Hindernissen



- Geschwindigkeit bei Umfahrung der Personen maximal 0.95 m/sec
- Geschwindigkeit bei Engstelle an der Türe: 0.2 m/sec
- Durchschnittsgeschwindigkeit: 0.65 m/sec

Navigation

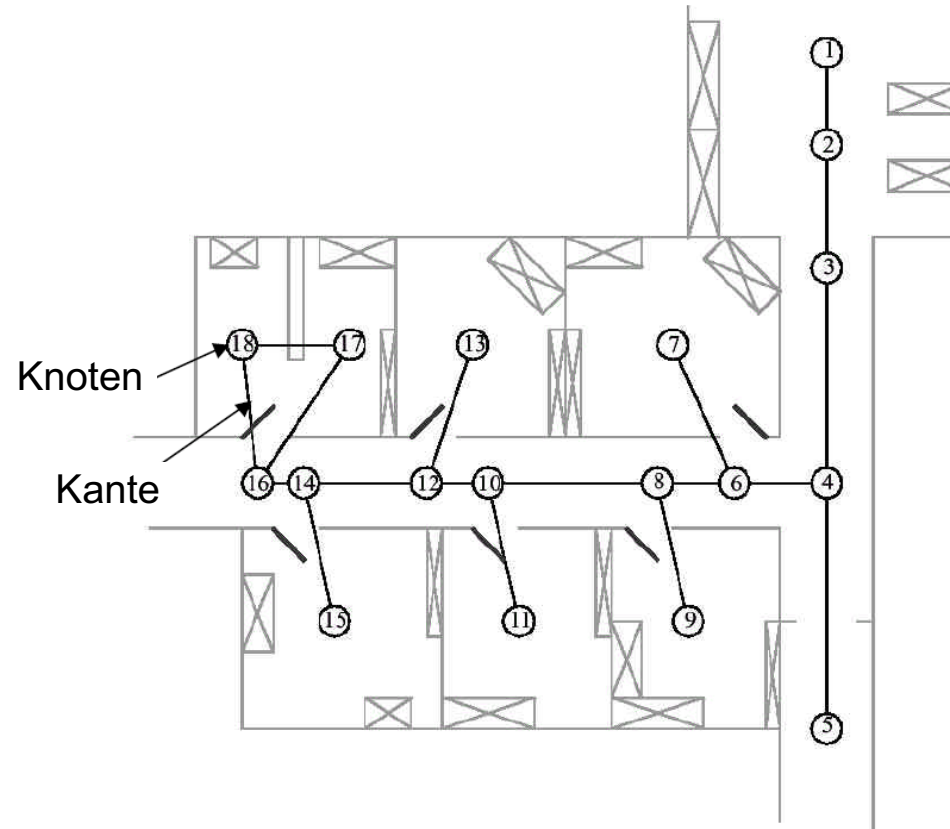
- Überblick
 - Ziel, Architektur, Komponenten
- Reaktive Navigation
 - Insekten als Vorbild
 - Braitenberg-Vehikel
 - Zusammenbau elementarer Navigationsbausteine
 - Bug-Algorithmen
 - Histogramm-Verfahren
 - Dynamik-basiertes Verfahren
- Kartenbasierte Navigation
 - Kürzeste Wege in Graphen:
 - A*, Dijkstra-Verfahren und Breitensuche
 - Verfahren mit Belegheitsgitter
 - Wegekartenverfahren:
 - Voronoi-Diagramme und probabilistische Wegekarten

Kartenbasierte Navigation

- Suche kürzesten Weg in einer Karte,
der dann mittels reaktiver Navigation abgefahren wird.
- Kriterien für kürzesten Weg:
 - Weglänge
 - Geschwindigkeit
 - Sicherheit (Abstand von Hindernissen)
 - kinematische Befahrbarkeit
- Wichtige Modelle für Karten:
 - Graphen
 - Belegtheitsgitter

Graphen

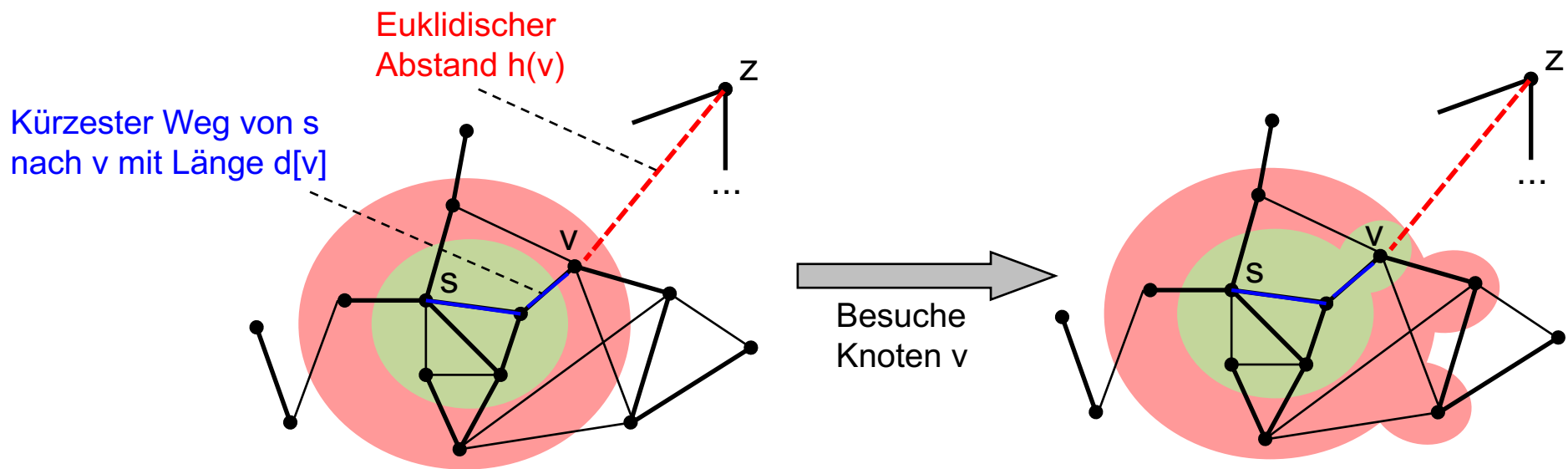
- Graph besteht aus einer Menge V von Knoten (vertices) und einer Menge E von Kanten (edges).
- Knoten u und v , die einfach gegenseitig erreichbar sind, sind durch eine Kante (u,v) verbunden.
- Jeder Kante (u,v) sind Kosten $c(u,v)$ zugeordnet.
- Zusätzlich können die Knoten noch mit geometrischen Informationen wie z.B. (x,y) -Koordinaten versehen sein.



Kürzeste Wege mit A* (1)

-
- Suche kürzesten Weg von Startknoten s nach Zielknoten z .
 - **Closed List:**
Knoten wurden bereits besucht und kürzeste Wege sind bekannt.
 - **Open List:**
Knoten, die als nächstes besucht werden können.
Es gibt Schätzwerte für kürzeste Wege, die sich aber noch ändern können.
 - Unbekannte Knoten:
Die restlichen Knoten (Knoten mit weissem Hintergrund) sind noch unbekannt.
 - Speicherung der kürzesten Wege:
 - $d[v]$ = Länge des kürzesten Wegs von s nach v
 - $p[v]$ = Vorgänger auf dem kürzesten Weg von s nach v

Kürzeste Wege mit A* (2)



- aus der Open List wird derjenige Knoten v besucht, für den der folgende Wert minimal ist:
$$d[v] + h(v)$$
- $h(v)$ ist eine Heuristik, die die noch unbekannte Weglänge von v nach z abschätzt. Sehr häufig wird der Euklidische Abstand gewählt.
- v kommt zur Closed List dazu. Es werden alle Nachbarn w von v betrachtet. Falls w unbekannt ist, dann kommt w zur Open List dazu. Falls w schon in der Open List ist, dann wird überprüft, ob sich $d[w]$ verbessert. $d[w]$ und $p[w]$ werden neu gesetzt bzw. aktualisiert.

A*-Algorithmus

```
void shortestPath (Vertex s, Vertex z, Graph g)
{
    PriorityQueue openList;           // Open List wird als Prioritätsliste realisiert und
                                      // enthält eine Menge von Knoten v mit Prioritätswert d[v] + h(v).
    openList.insert(s, h(s));          // Fügt Startknoten s mit Prioritätswert h(s) ein.
    d[s] = 0;

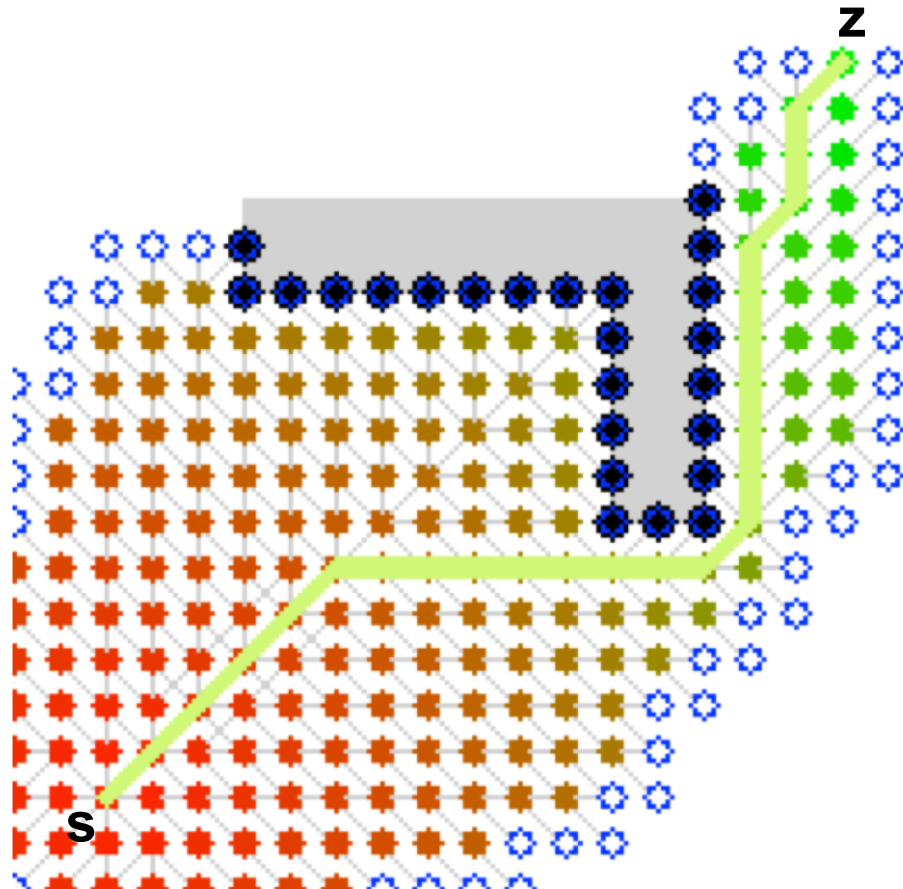
    while (! openList.empty() ) {
        v = openList.delMin();         // Knoten v wird besucht; kürzester Weg ist jetzt bekannt.
        if (v == z)                  // Ziel erreicht.
            breche Suche erfolgreich ab;
        for (jeden Nachbarn w von v ) {
            if (d[w] ist noch undefiniert) { // Knoten w ist noch unbekannt.
                d[w] = d[v] + c(v,w);
                p[w] = v;
                openList.insert(w, d[w]+h(w));
            }
            else if (d[v] + c(v,w) < d[w]) { // d[w] kann verbessert werden mit Knoten v als Vorgänger.
                d[w] = d[v] + c(v,w);
                p[w] = v;
                openList.changePriority(w, d[w]+h(w));
            }
        }
    }
}
```

Sucht kürzesten Weg von Startknoten s nach Zielknoten z im Graph g.

Implementierungshinweise

- Für die Open List wird eine indizierte Prioritätsliste verwendet mit effizienten Realisierungen (d.h. $O(\log(n))$) für die Operationen:
 - `delMin()`
 - `insert(v, prio)`
 - `changePriority(v, prio)`
- $d[v]$ und $p[v]$ können mit Hilfe eines Map-Datentyps realisiert werden.
- In der vorliegenden Algorithmus-Variante ist die Closed List (= Menge der besuchten Knoten) nicht explizit realisiert.
Sie ist aber implizit gegeben:
jeder Knoten v , für den $d[v]$ definiert ist und
der nicht in der Open List ist, ist in der Closed List.
- In machen A*-Implementierungen wird die Closed List auch explizit als Set-Datentyp realisiert.
Sobald ein Knoten v aus der Open List mit `delMin()` entfernt wird,
wird v in die Closed List hinzugefügt.

Beispiel

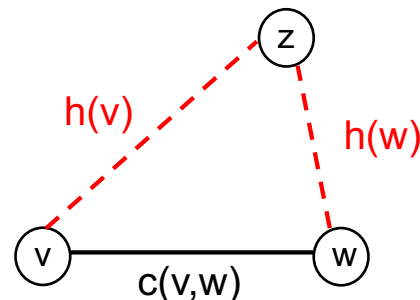


- Blau umrandete Knoten: Open List
- Farbige Knoten: Closed List (besuchte Knoten)
Farbwert spiegelt Distanz zu Startknoten s wider.
- Restliche Knoten: nicht dargestellt.

https://de.wikipedia.org/wiki/A*-Algorithmus,
User:Subh83

Eigenschaften von A* (1)

- A* ist **vollständig**:
falls ein Weg von S nach Z existiert, wird auch ein Weg gefunden.
- A* ist **optimal**:
der gefundene Weg ist ein kürzester Weg.
- Voraussetzung dafür sind zwei Bedingungen an die Heuristik h:
 - (1) h ist **zulässig**:
 $0 \leq h(v) \leq d(v,z)$ für alle Knoten v.
Dabei ist $d(v,z)$ die Länge eines kürzesten Wegs von v zum Ziel z.
D.h. h unterschätzt die Länge des kürzesten Weges von v nach z.
 - (2) h ist **monoton**:
 $h(v) \leq c(v,w) + h(w)$ für alle Knoten v, w



Eigenschaften von A* (2)

- Eine monotone Heuristik gewährleistet, dass entlang jeden von A* berechneten Wegs (Datenstruktur p) die Prioritätswerte monoton steigend sind.
- Damit müssen die Prioritätswerte der besuchten Knoten über die Zeit aufgetragen monoton steigend sein. Folgende Schleife würde also steigende Prioritätswerte ausgeben:

```
while (! openList.empty() ) {  
    v = openList.delMin(); // besuche Knoten v  
    gibt Prioritätswert von v aus: d[v] + h(v)  
  
    // ...  
}
```

- Daher ist es überflüssig, einen bereits besuchten Knoten nochmals zu besuchen.
- Der Forderung einer monotonen Heuristik kann auch wegfallen.
Dann muss der A*-Algorithmus allerdings so umformuliert werden,
dass auch bereits besuchte Knoten nochmals besucht werden können.
Das würde jedoch die Laufzeit verschlechtern.
- Die wichtigsten Heuristiken wie Euklidischer Abstand sind monoton.

Dijkstra-Algorithmus und Breitensuche

- Die Heuristik

$$h(v) = 0 \text{ für alle Knoten } v$$

ist zulässig und monoton.

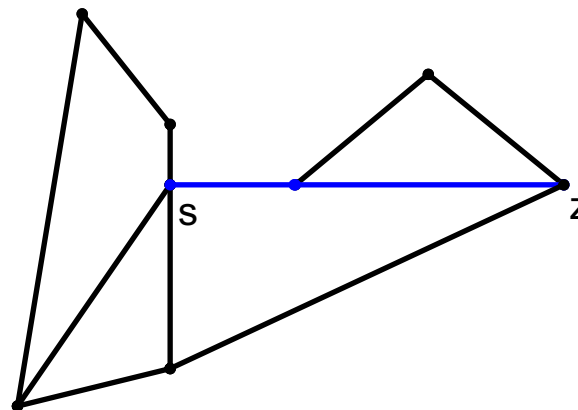
Man erhält damit den **Algorithmus von Dijkstra**, der kürzeste Wege berechnet ohne Zielorientierung.

Das Dijkstra-Verfahren kann, auch wenn der Zielknoten erreicht wurde, fortgesetzt werden. Dann werden alle kürzesten Wege mit Startknoten s gefunden.

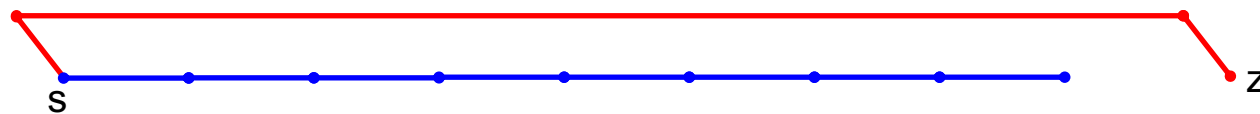
- Falls $h(v) = 0$ und **alle Kanten das Gewicht 1 haben** (d.h. $c(u,v) = 1$), ergibt sich die **Breitensuche**: zuerst werden die Knoten besucht, die über eine Kante direkt erreichbar sind, dann die Knoten die über 2 Kanten erreichbar sind, etc. Statt einer Prioritätsliste kann dann eine einfache Schlange (Queue) verwendet werden.

Komplexität von A* (1)

- Die Laufzeit von A* hängt ganz wesentlich davon ab, wie gut die Heuristik zur Graphstruktur passt.
- Stellt ein Graph befahrbare Wege in einer Umgebung dar, dann führt der Euklidische Abstand als Heuristik in der Regel zu einer kurzen Laufzeit von A*.



- Das muss aber nicht so sein! Man stelle sich Sackgassen oder ein Labyrinth vor.

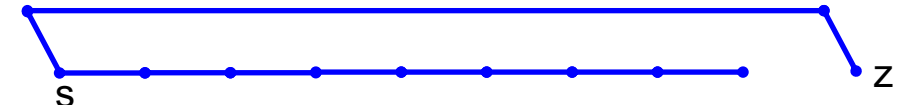


1. A* geht direkt auf das Ziel *z* zu, läuft aber in eine Sackgasse (blau).
2. A* besucht nun einen Weg, der sich anfangs vom Ziel entfernt und daher nicht früher betrachtet wurde (rot).

Komplexität von A* (2)

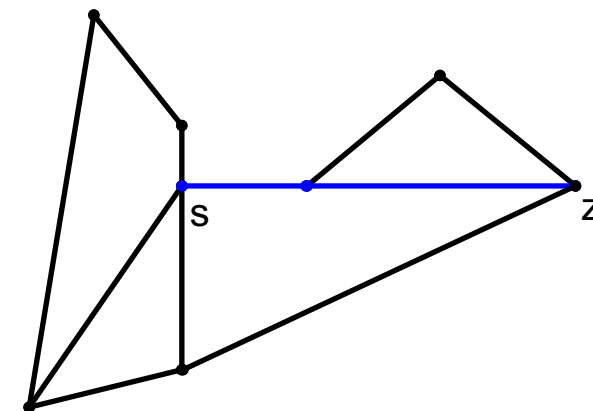
- Laufzeit im schlechtesten Fall:

- Heuristik bringt keinen Vorteil (siehe Sackgassen-Beispiel).
- Kein frühzeitiger Abbruch, weil das Ziel gefunden wurde.
(Fast) jeder Knoten v wird besucht.
- Ist der Graph dünn besetzt und wird eine indizierte Prioritätsliste eingesetzt, dann ist $T = O(n \log(n))$, wobei n die Anzahl der Knoten ist.



- Laufzeit im besten Fall:

- Heuristik ist optimal.
- Es werden nur solche Knoten v besucht, die für den kürzesten Weg relevant sind.
- Ist der Graph dünn besetzt, dann gilt $T = O(d \log(d))$, wobei d die Anzahl der Knoten des gefundenen kürzesten Weges ist.

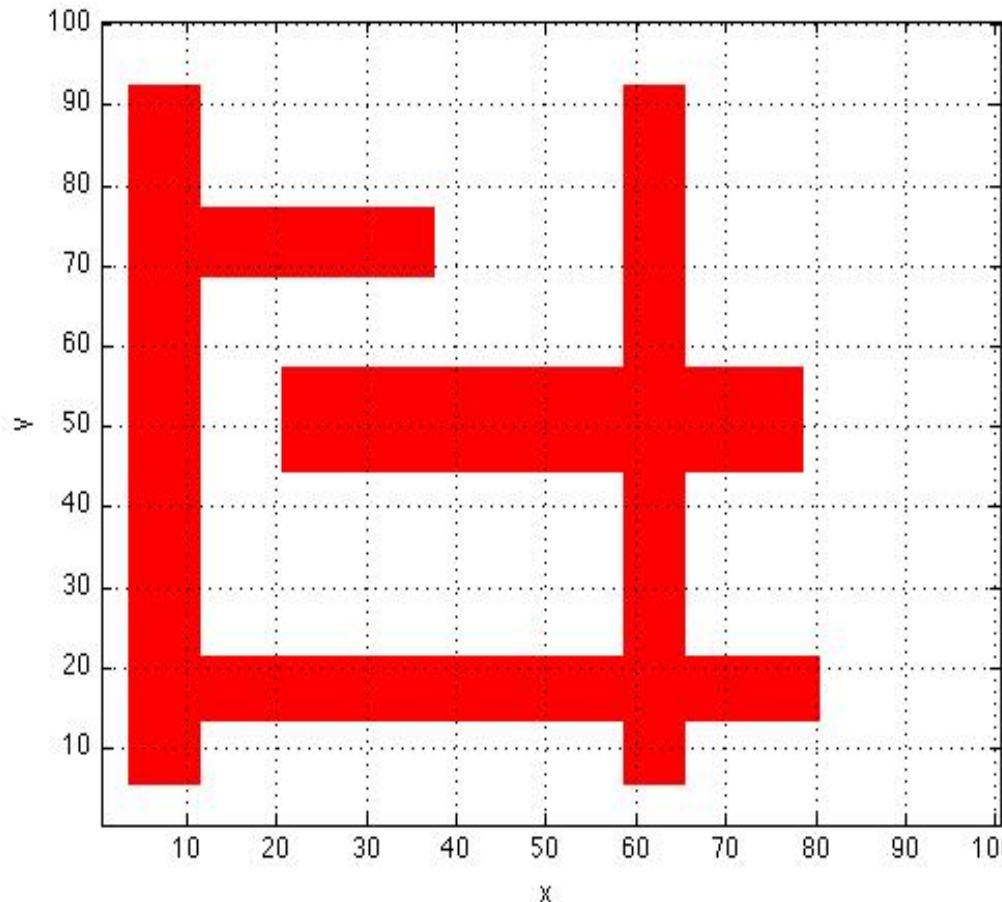


Navigation

- Überblick
 - Ziel, Architektur, Komponenten
- Reaktive Navigation
 - Insekten als Vorbild
 - Braitenberg-Vehikel
 - Zusammenbau elementarer Navigationsbausteine
 - Bug-Algorithmen
 - Histogramm-Verfahren
 - Dynamik-basiertes Verfahren
- Kartenbasierte Navigation
 - Kürzeste Wege in Graphen:
 - A*, Dijkstra-Verfahren und Breitensuche
 - Verfahren mit Belegheitsgitter
 - Wegekartenverfahren:
 - Voronoi-Diagramme und probabilistische Wegekarten

Belegtheitsgitter

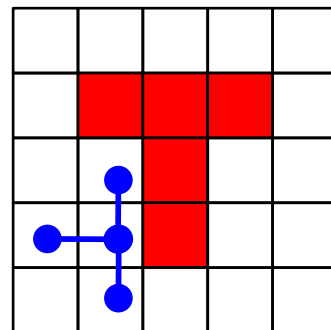
- Umgebung wird in ein Gitter von Zellen mit gleicher Größe aufgeteilt.
- Eine Zelle ist belegt, wenn sie durch ein Hindernis geschnitten wird.



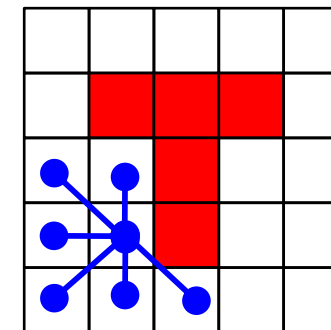
Gitter mit
100*100 Zellen

Belegtheitsgitter als Graph

- Ein Belegtheitsgitter kann als Graph aufgefasst werden.
- Jede freie Zelle bildet einen Knoten.
- 4-Nachbarschaft: jede horizontal bzw. vertikal benachbarte freie Zelle ergibt eine Kante.
- 8-Nachbarschaft: auch diagonal benachbarte freie Zellen ergeben eine Kante.
- Vertikale und horizontale Kanten können mit Kosten 1 und diagonale Kanten mit Kosten $\sqrt{2}$ belegt werden.



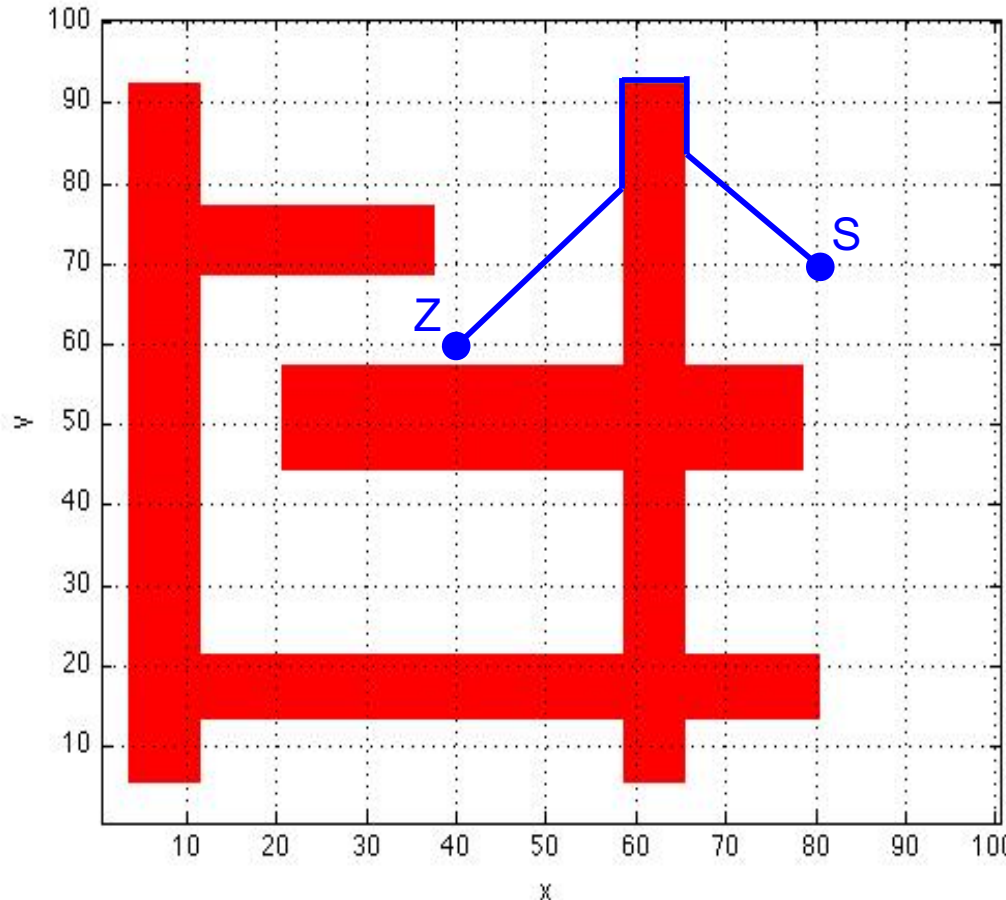
4-Nachbarschaft



8-Nachbarschaft

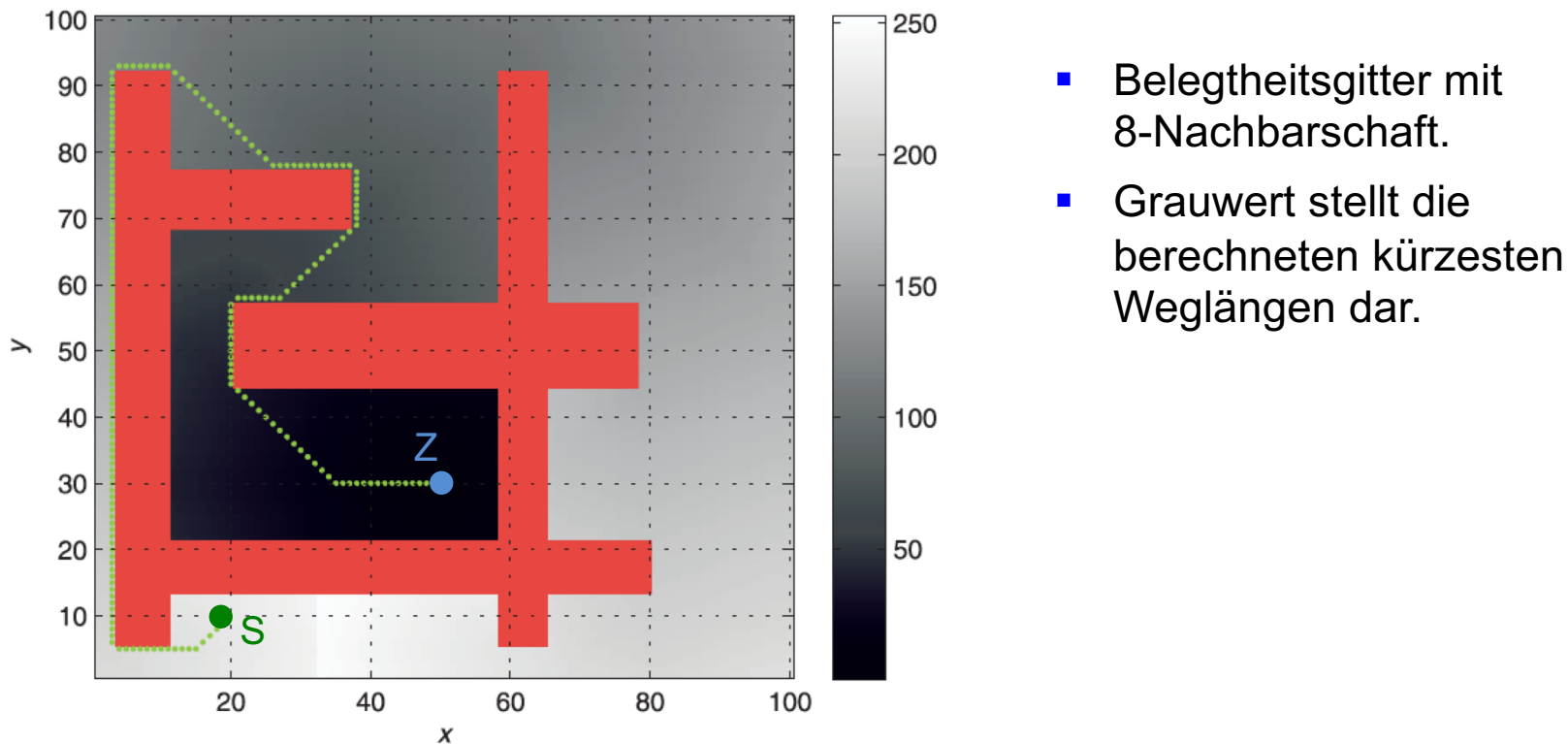
Gitterbasiertes Planungsverfahren

- Fasse Belegheitsgitter als Graph auf und berechne mit A*-Verfahren kürzesten Weg von Start nach Ziel.



Gradientenplaner

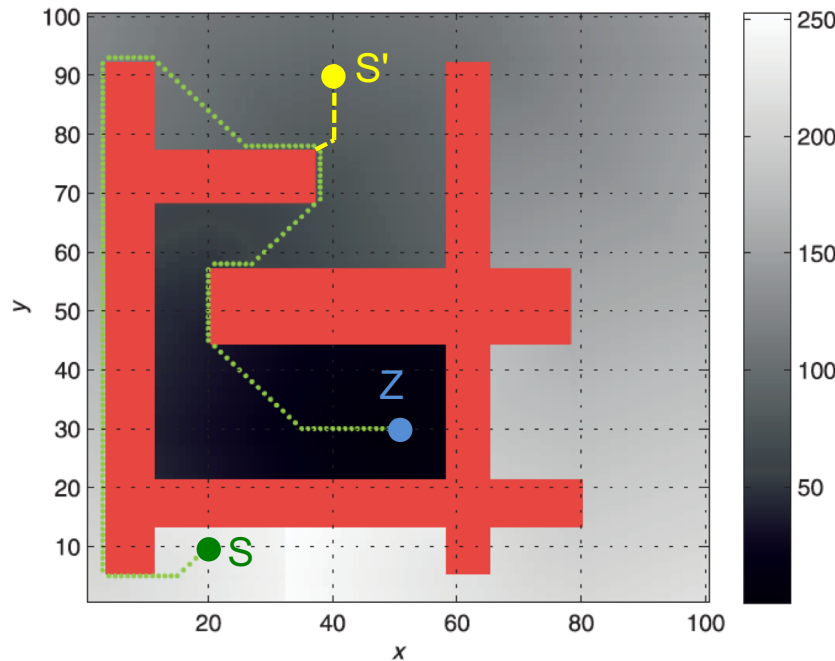
- Fasse Belegtheitsgitter als Graph auf und berechne mit Dijkstra-Verfahren alle kürzesten Wege vom Ziel nach allen anderen Knoten und trage die berechneten kürzesten Weglängen d in die entsprechenden Gitterzellen ein.
- Gesuchter Weg ergibt sich dann, indem bei einem beliebigen Startknoten S begonnen wird und immer zu denjenigen Nachbarzellen mit geringstem d -Wert gegangen wird (**Gradientenabstieg**).



Alle Abbildungen auch auf den folgenden Seiten aus [Corke, 2011]

Bemerkungen

- Sobald die kürzesten Wege berechnet wurden, ist für jeden Startknoten (!) der kürzeste Weg unmittelbar durch Gradientabstieg gegeben.
- Vorteil ist: bei einer Abweichung vom geplanten Weg steht eine Neuplanung des Wegs sofort zur Verfügung. Das Ziel darf sich dabei jedoch nicht ändern.



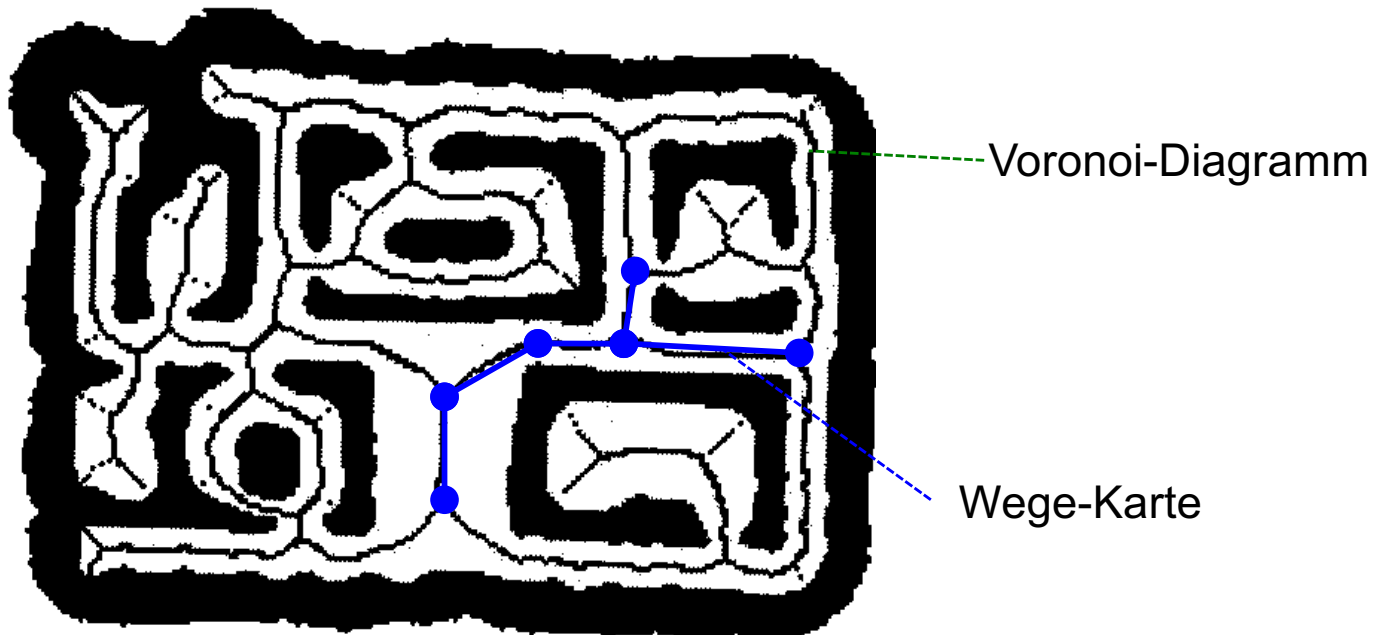
- Zusätzlich können Zellen noch mit Kosten versehen werden, die vom Abstand zum nächsten Hindernis abhängen. Damit werden bei der Pfadplanung zwei Ziele verfolgt: Sicherheit der Wege (d.h. größere Abstände von Hindernissen) und ihre Länge.

Navigation

- Überblick
 - Ziel, Architektur, Komponenten
- Reaktive Navigation
 - Insekten als Vorbild
 - Braitenberg-Vehikel
 - Zusammenbau elementarer Navigationsbausteine
 - Bug-Algorithmen
 - Histogramm-Verfahren
 - Dynamik-basiertes Verfahren
- Kartenbasierte Navigation
 - Kürzeste Wege in Graphen:
 - A*, Dijkstra-Verfahren und Breitensuche
 - Verfahren mit Belegtheitsgitter
 - Wegekartenverfahren:
 - Voronoi-Diagramme und probabilistische Wegekarten

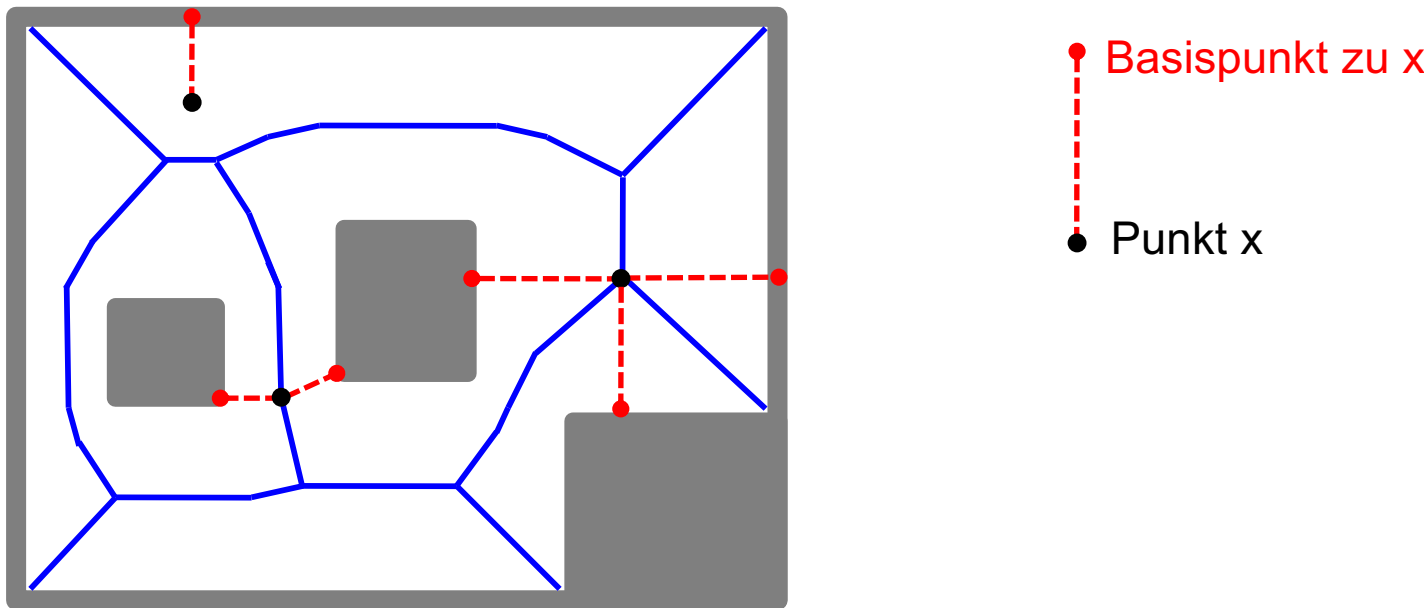
Ziel der Voronoi-Diagramme

- In frei befahrbare Umgebung werden Knoten und Verbindungen gelegt (Voronoi-Diagramm), die möglichst weit weg von den Hindernissen sind.
- Abstrahiere Voronoi-Diagramm zu Graph (Wegekarte), und führe Navigationsplanung auf Graphenalgorithmen zurück.



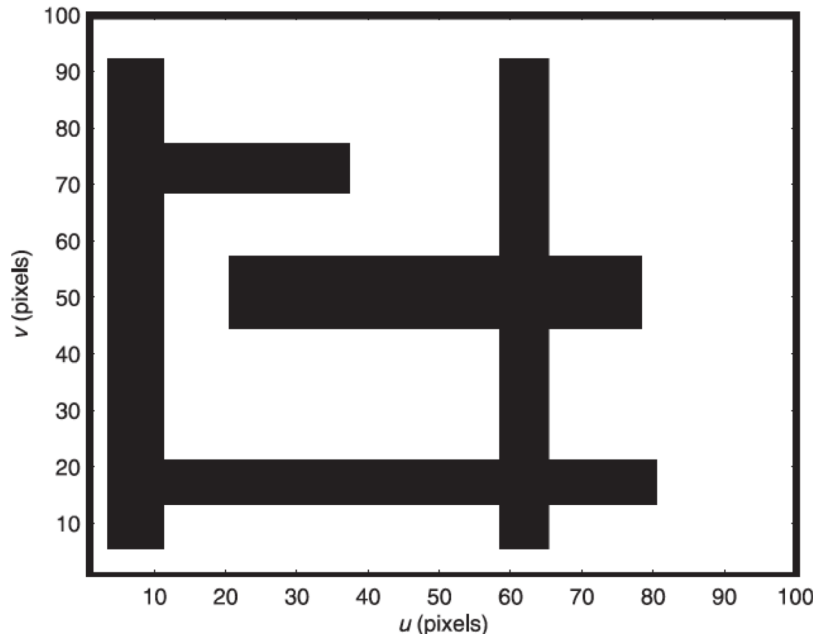
Definition der Voronoi-Diagramme

- Zu einem Punkt x der freien Umgebung heisst ein nächstgelegener Hindernispunkt auch Basispunkt.
- Es kann zu einem Punkt mehrere Basispunkte geben, die dann alle gleich weit entfernt sind.
- Ein Voronoi-Diagramm besteht aus allen Punkten, die wenigstens 2 Basispunkte besitzen.
- Punkte mit echt mehr als 2 Basispunkten heissen auch Voronoi-Ecken.

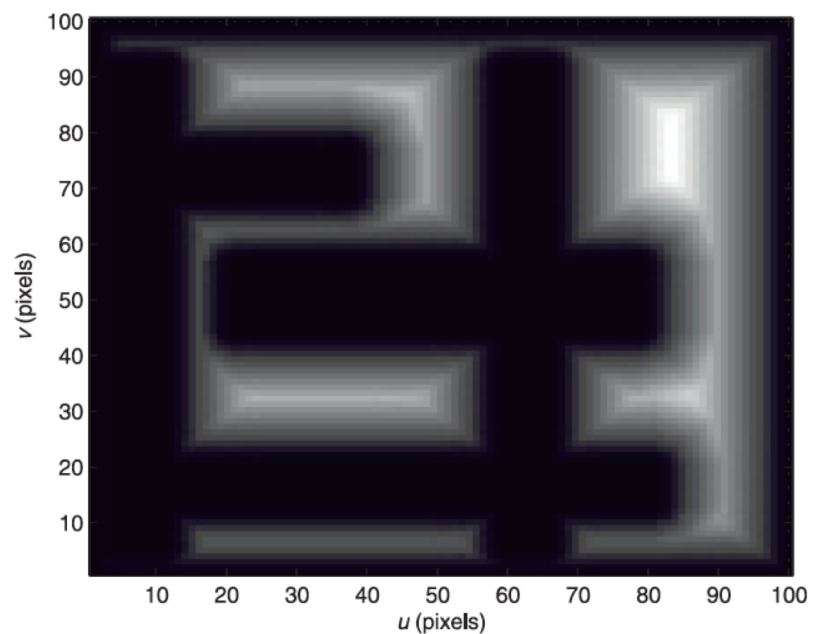


Approximative Berechnung der Voronoi-Diagramme (1)

- Erstelle zur Umgebung ein Belegtheitsgitter.
- Ermittle alle Randzellen. Randzellen sind Zellen, die zu einem Hindernisrand gehören.
- Starte nun das Dijkstra-Verfahren, wobei Open List mit allen Randzellen initialisiert wird. Der d-Wert der Randzellen wird auf 0 gesetzt.
- Das Dijkstra-Verfahren berechnet nun für alle Zellen den Abstand zu den nächstgelegenen Hindernissen.



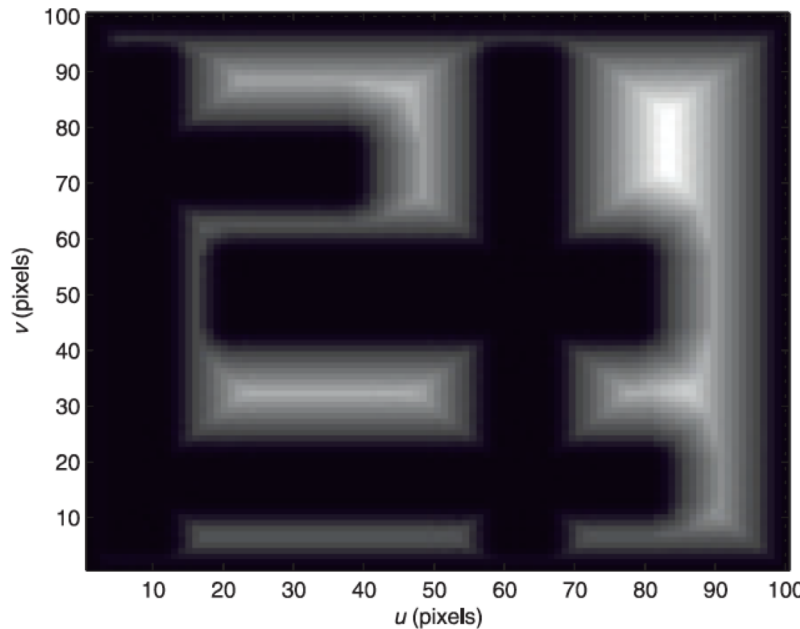
Belegtheitsgitter



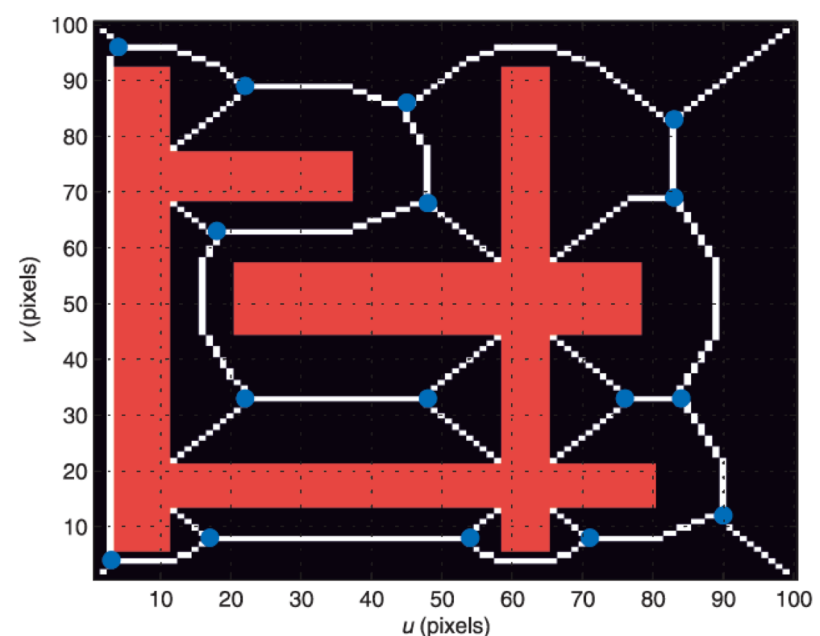
Gitter mit Entfernungswerten zu den nächstgelegenen Hindernissen

Approximative Berechnung der Voronoi-Diagramme (2)

- Das Voronoi-Diagramm besteht aus allen Zellen, deren d-Wert ein lokales Maximum bilden.
- Voronoi-Diagramm kann zu Graph abstrahiert werden. Nehme Voronoi-Ecken als Knoten und Verbindungen als Kanten. Führe evtl. Zwischenknoten ein.



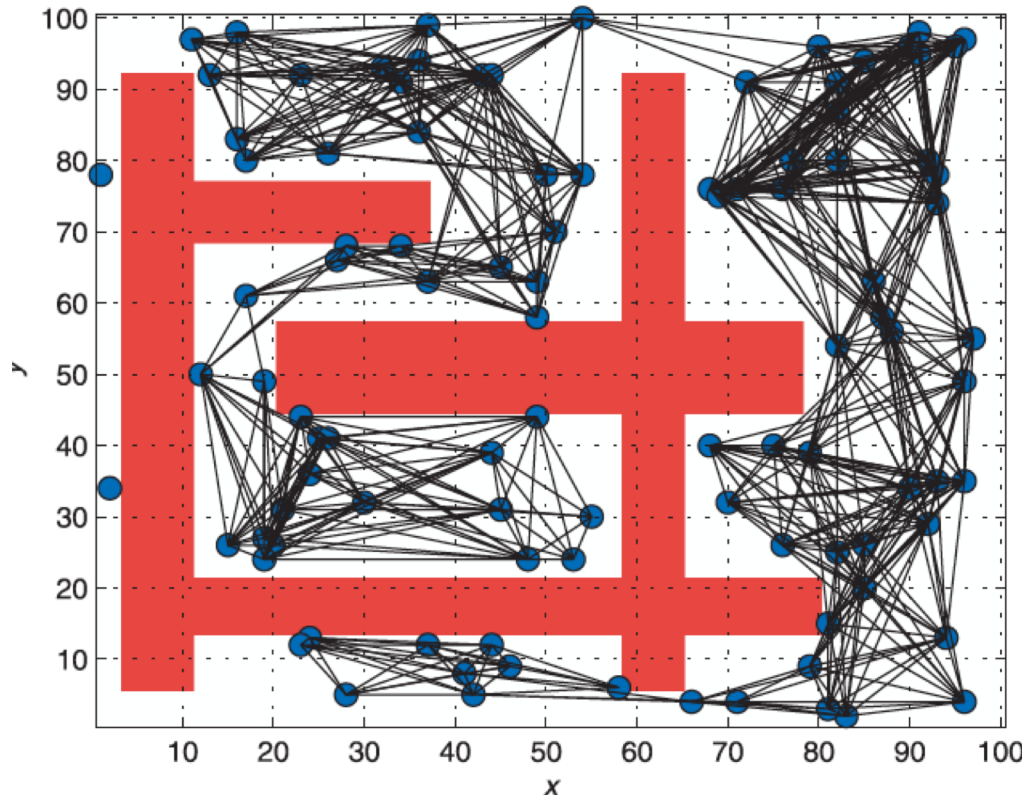
Gitter mit Entfernungswerten zu den nächstgelegenen Hindernissen



Voronoi-Diagramm. Voronoi-Ecken sind blau dargestellt. Bei Überführung in ein Graph können noch Zwischenknoten eingebaut werden.

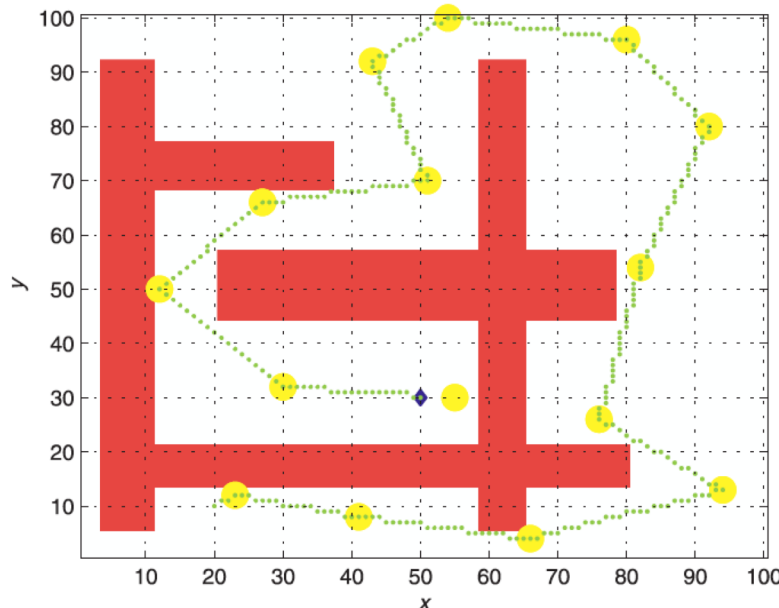
Probabilistische Wegekarten

- Beim PRM-Verfahren (Probabilistic Roadmap Method) werden zufällig Punkte auf den Freiflächen generiert.
- Punkte werden mit allen sichtbaren Nachbarknoten, die innerhalb einer bestimmten Entfernung liegen, mit einer Kante verbunden.
- In den PRM-Karten lassen sich mit den üblichen Graphenalgorithmen Wege finden.

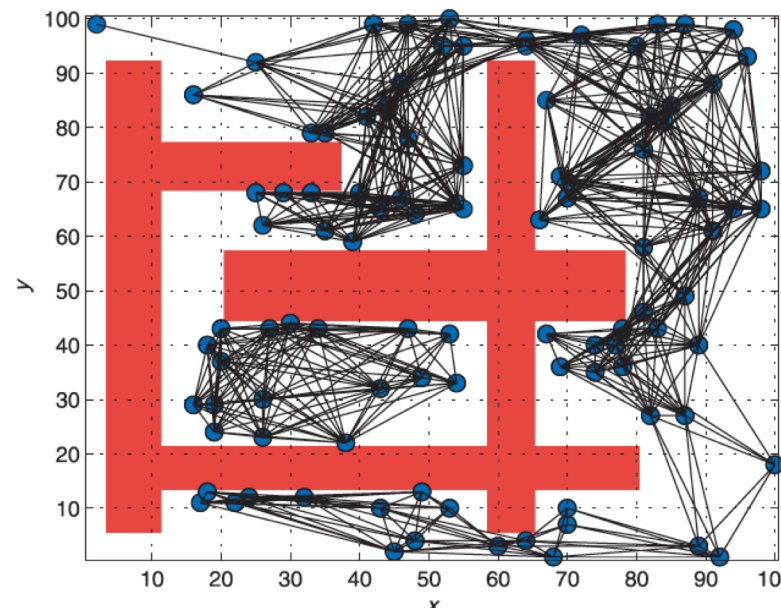


Bemerkungen

- Voronoi-Diagramme haben den Nachteil, dass große Freiflächen nur durch wenige Ecken und Verbindungen aufgespannt werden. Die Planung kann daher sehr ineffiziente Wege generieren.
- Das PRM-Verfahren führt bei großen Freiflächen zu einer wesentlich besseren Abdeckung.
- Jedoch werden möglicherweise kleine Freiflächen nicht abgedeckt oder ein nicht zusammenhängender Graph wird generiert. Das Verfahren kann dadurch unvollständig werden oder suboptimale Wege generieren.



Suboptimaler Weg aufgrund zu weniger Knoten in der Engstelle ganz links.



Nicht zusammenhängender Graph.